

Лекция 5.

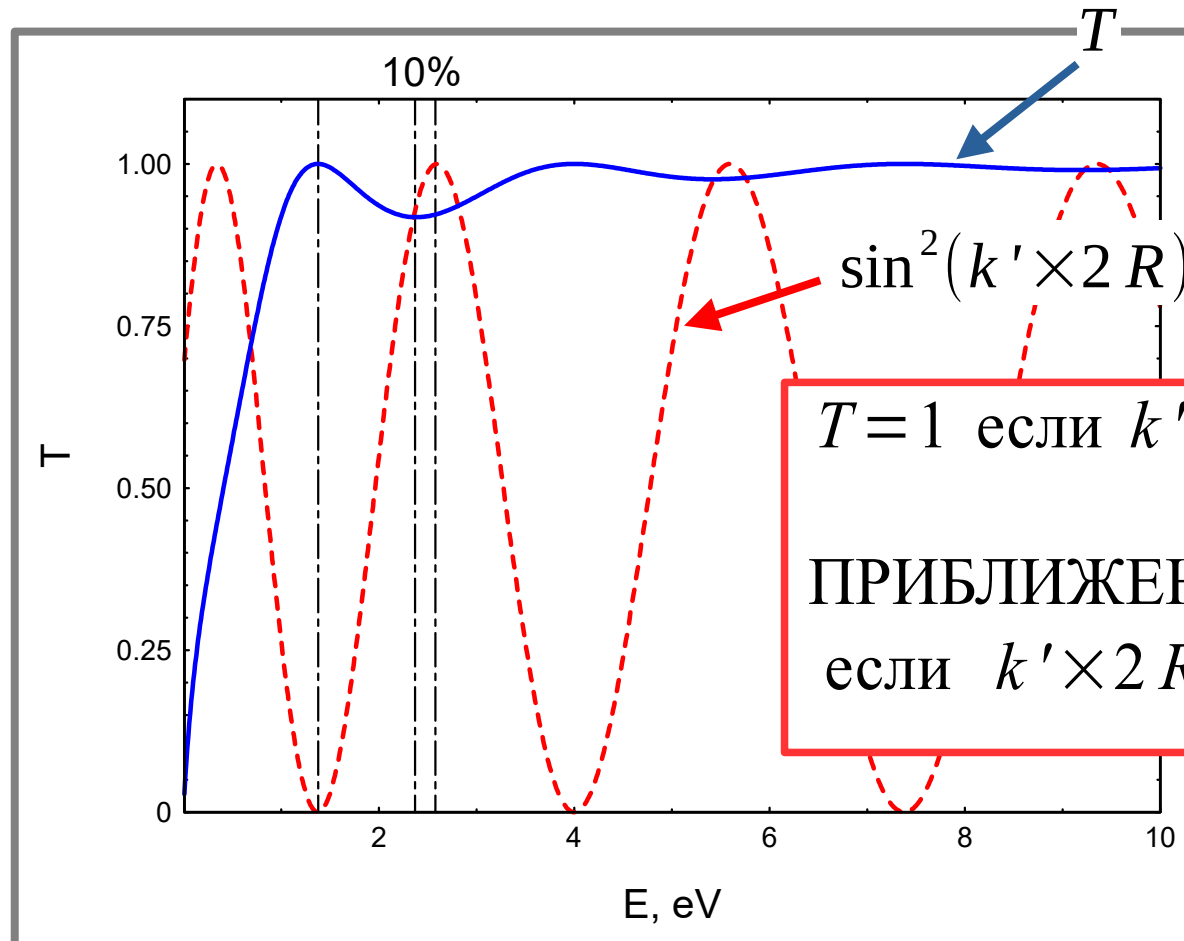
- Гармонический осциллятор. Туннельные осцилляции.
- Оценочные и приближенные решения для квантовых ям.
- Момент импульса в квантовой механике. Движение в центральном поле.

Небольшое математическое уточнение...

$$T(E) = \frac{1}{1 + \frac{U_0^2}{4E(E + |U_0|)} \sin^2\left(\frac{\sqrt{2m(E + |U_0|)}}{\hbar} \times 2R\right)}$$

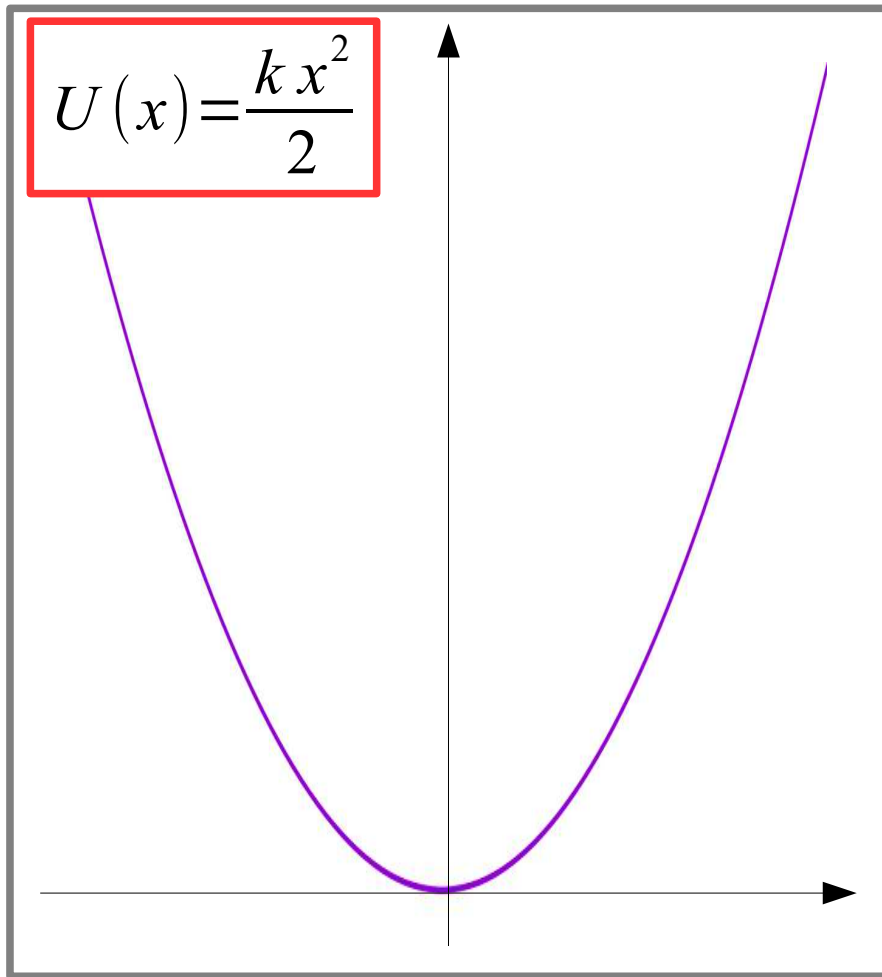
$$2R = 5 \text{ \AA}$$

$$|U_0| = 2 \text{ эВ}$$

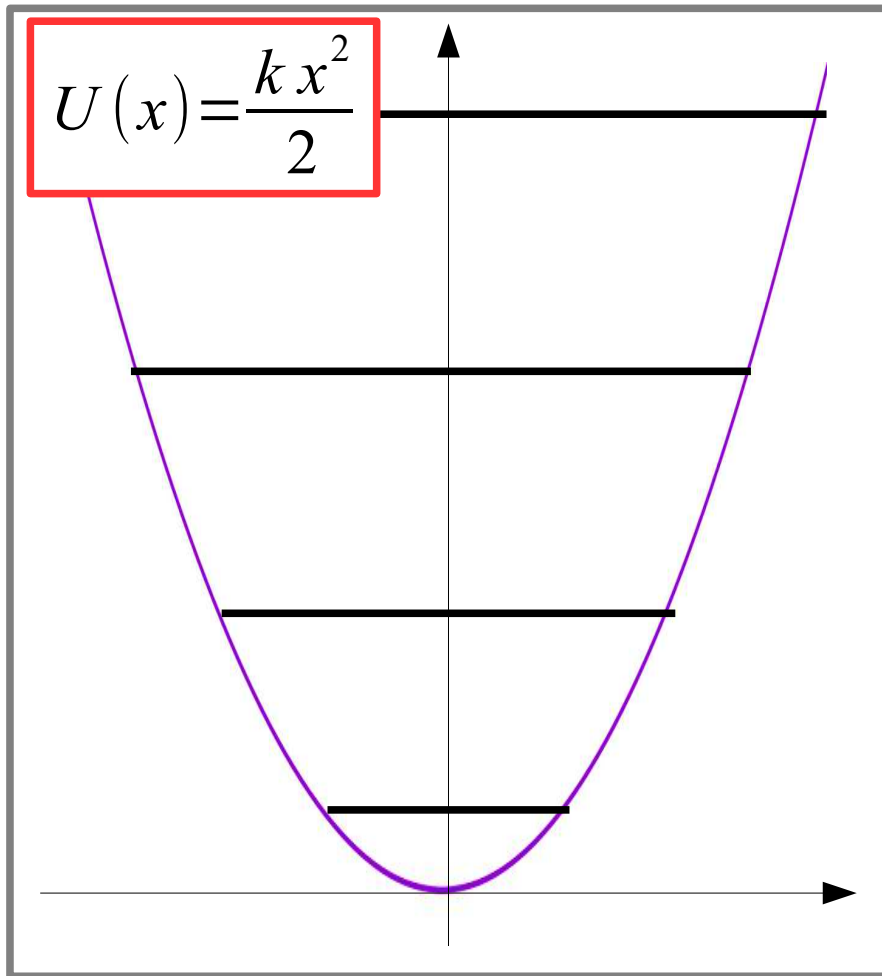


Часть 1. Квантовый осциллятор

Гармонический осциллятор в 1D



Гармонический осциллятор в 1D



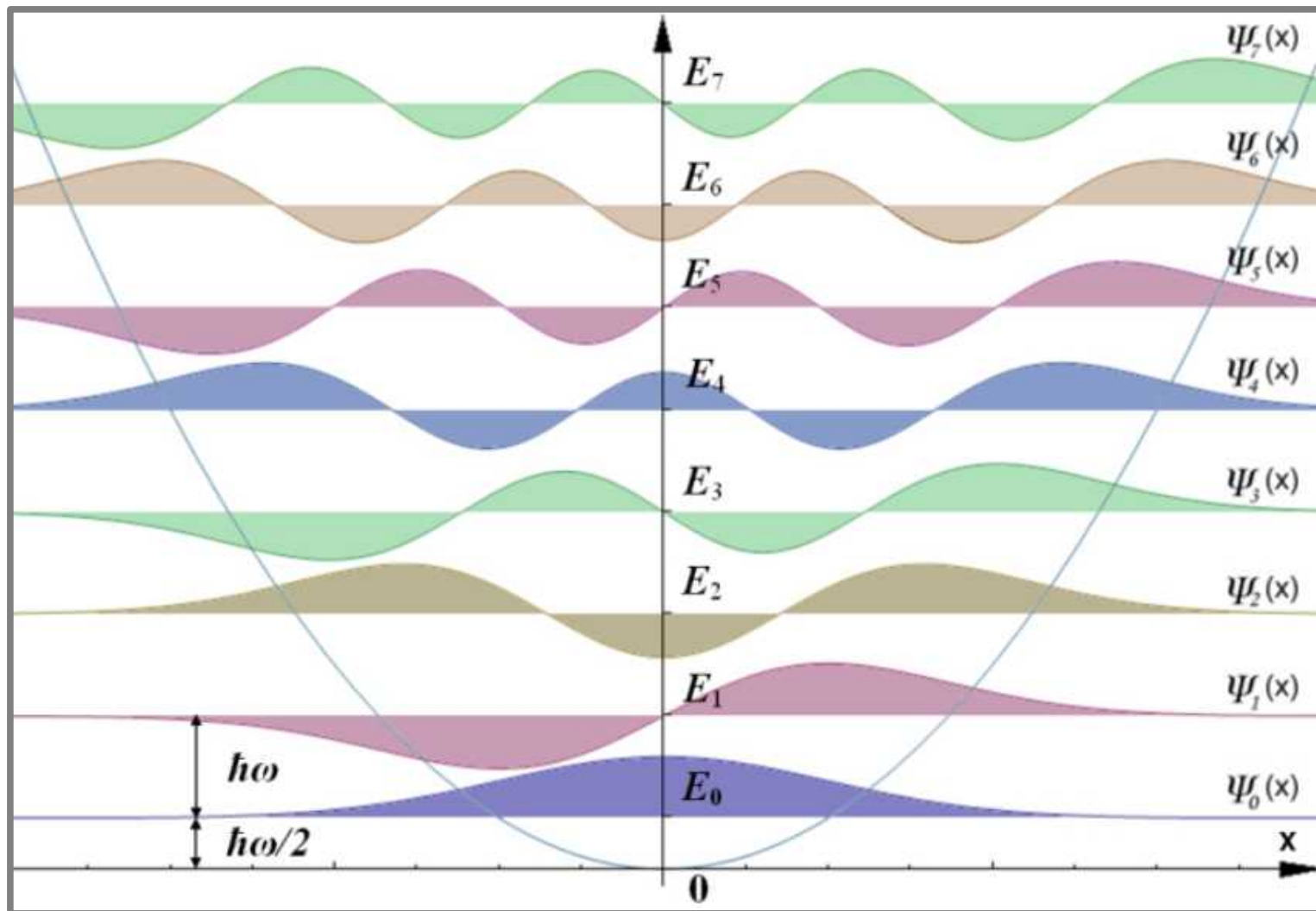
- Точно решается в эрмитовых функциях
- Эквидистантные уровни

$$E_n = \hbar \omega \left(n + \frac{1}{2} \right)$$

$$\omega = \sqrt{\frac{k}{m}}$$

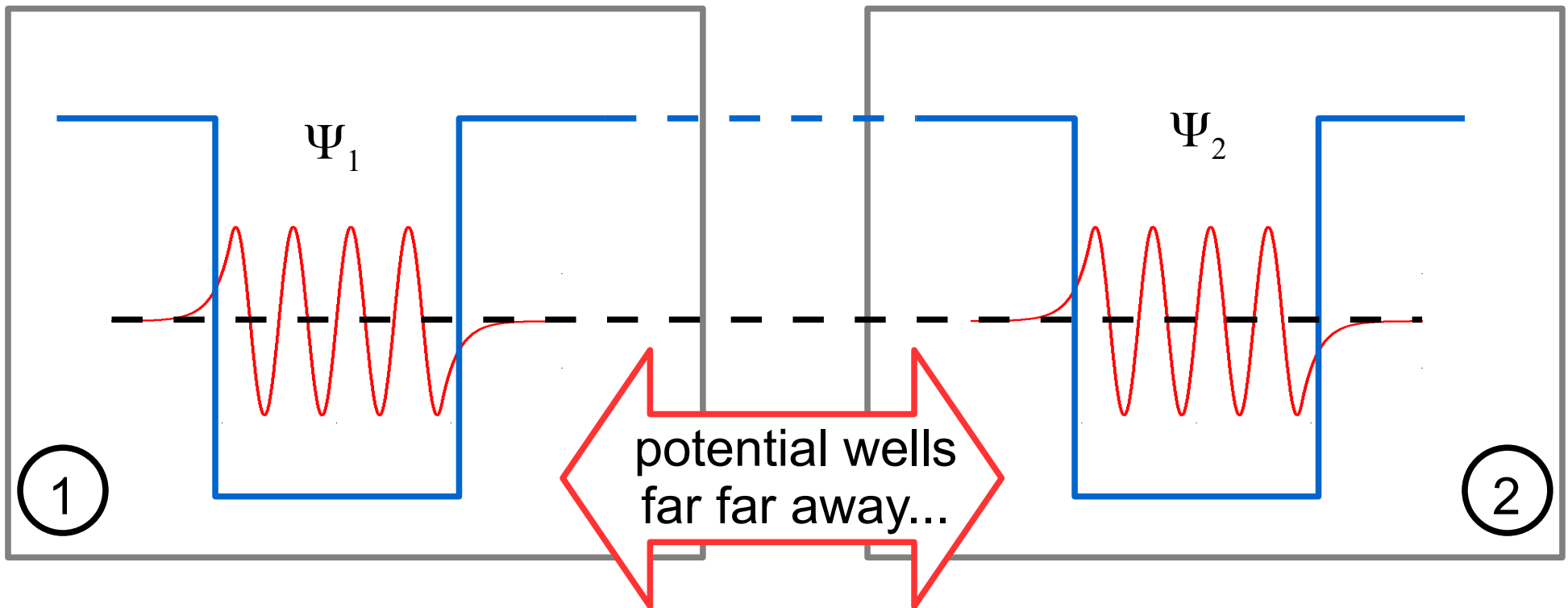
- Имеются «нулевые колебания»

Схематический вид волновых функций одномерного осциллятора

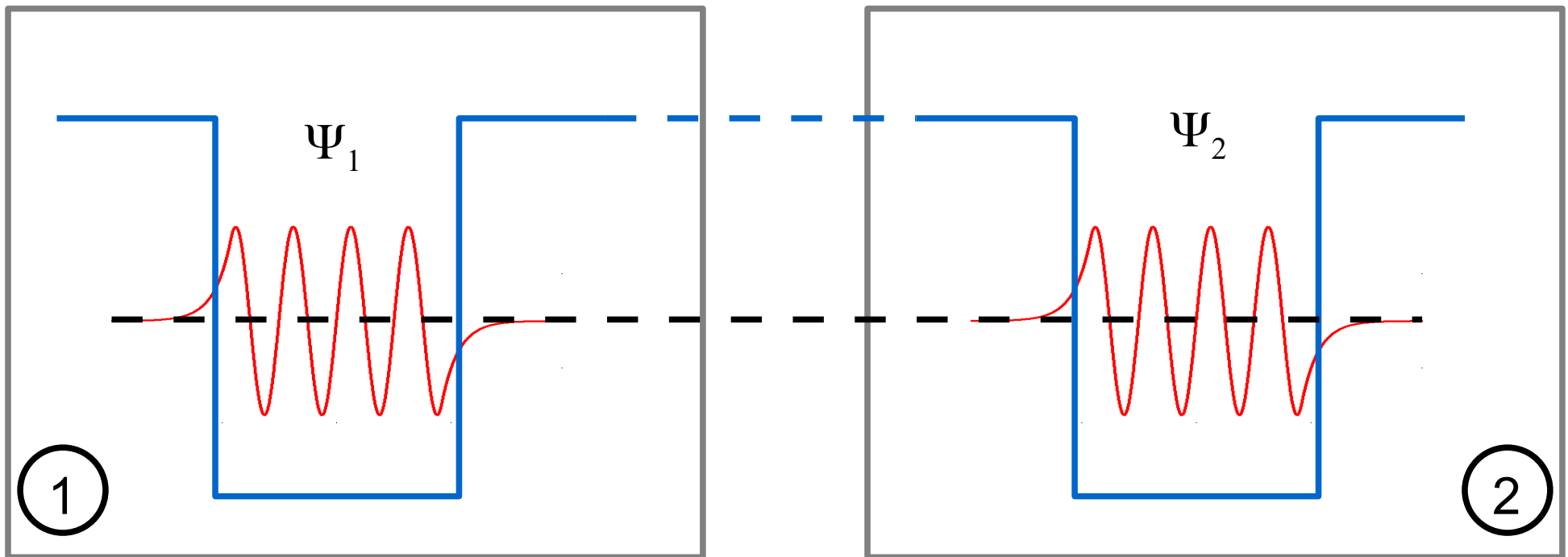


Часть 2: Туннельные осцилляции в связанных квантовых ямах

Туннельные осцилляции в связанных ямах



Туннельные осцилляции в связанных ямах



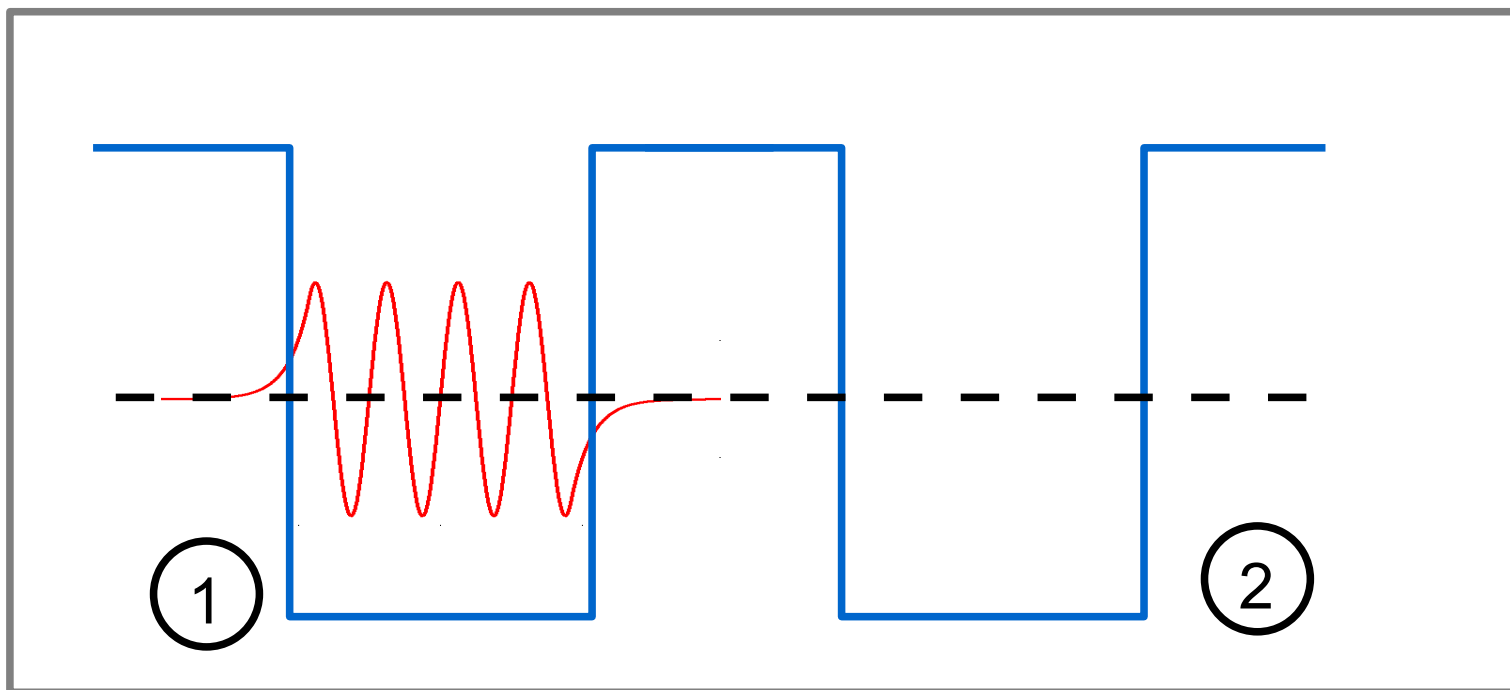
$$\hat{H}_0 = -\frac{\hbar^2}{2m} \Delta + U(x)$$

$$\hat{H}_0 \Psi_1 = E_0 \Psi_1$$

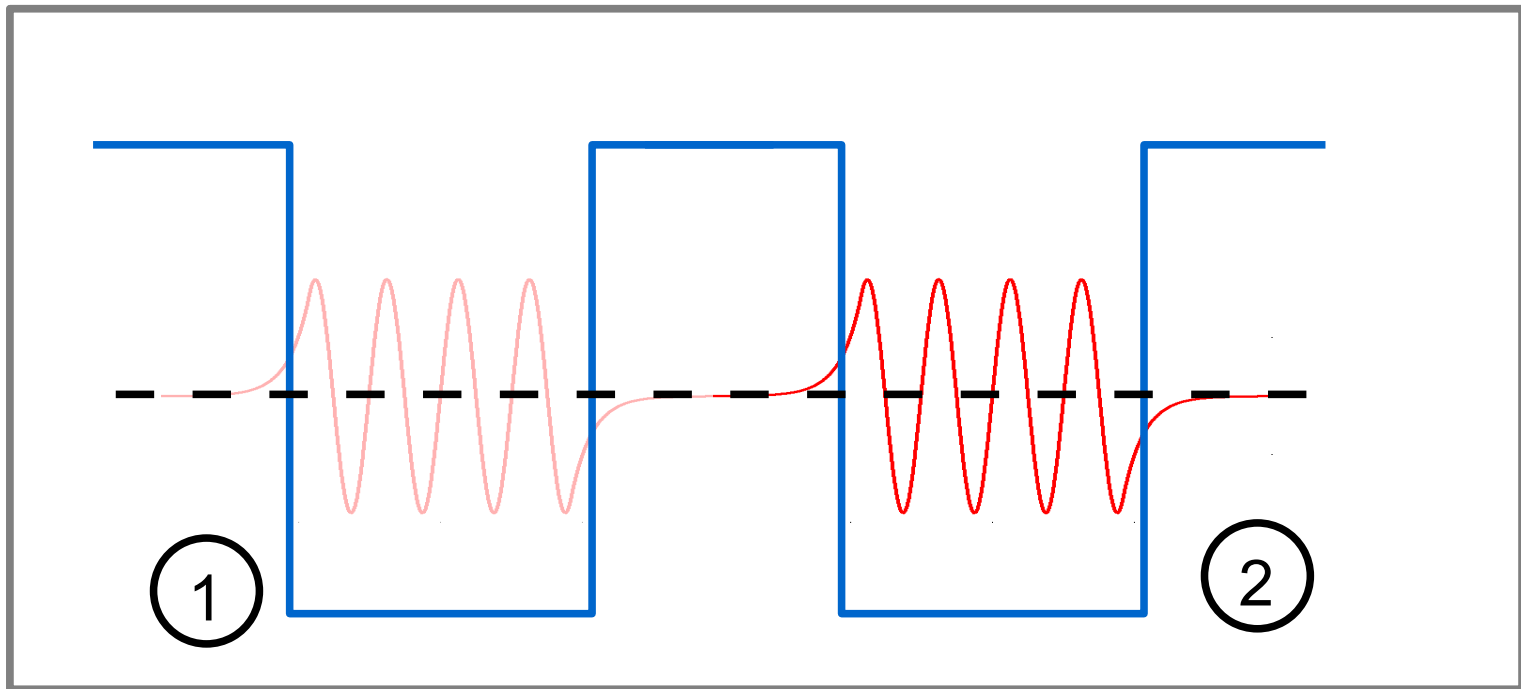
$$\hat{H}_0 \Psi_2 = E_0 \Psi_2$$

двукратно вырожденный уровень

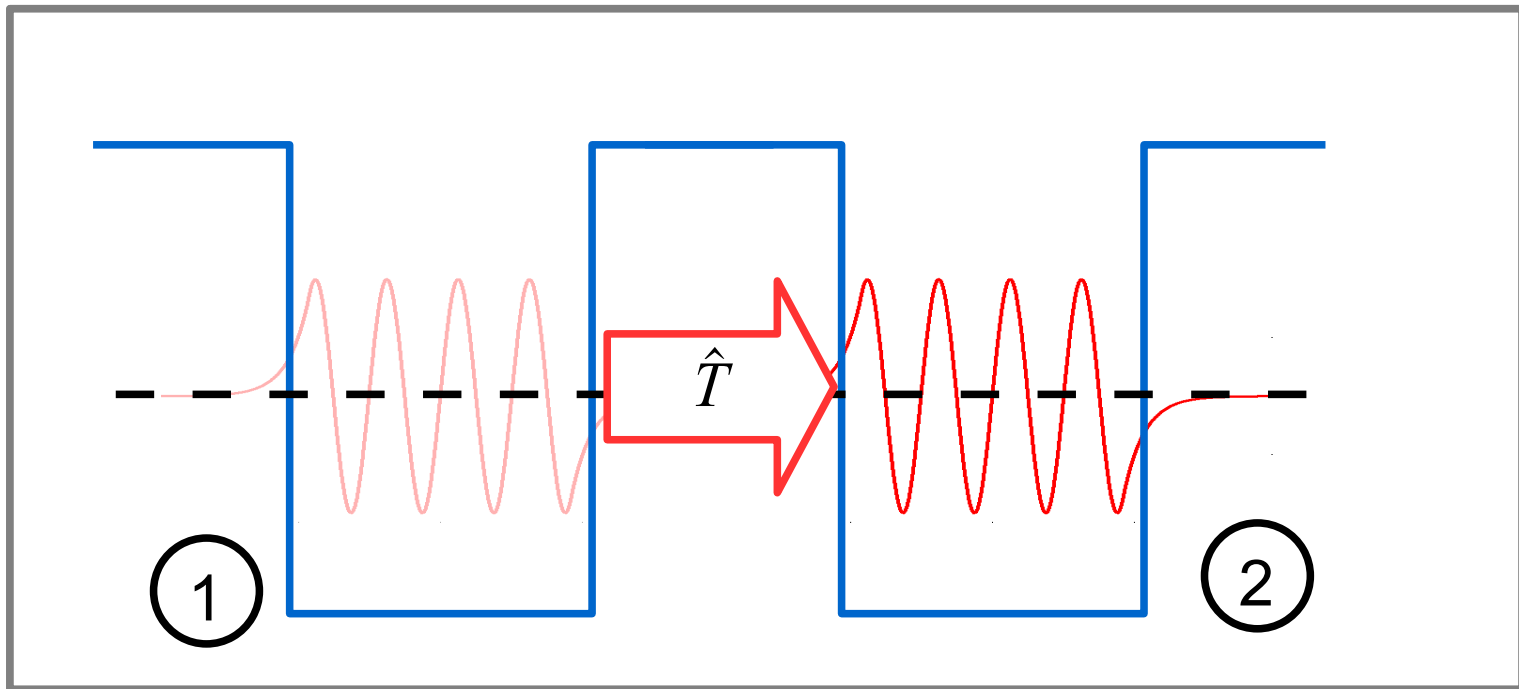
Туннельные осцилляции в связанных ямах



Туннельные осцилляции в связанных ямах

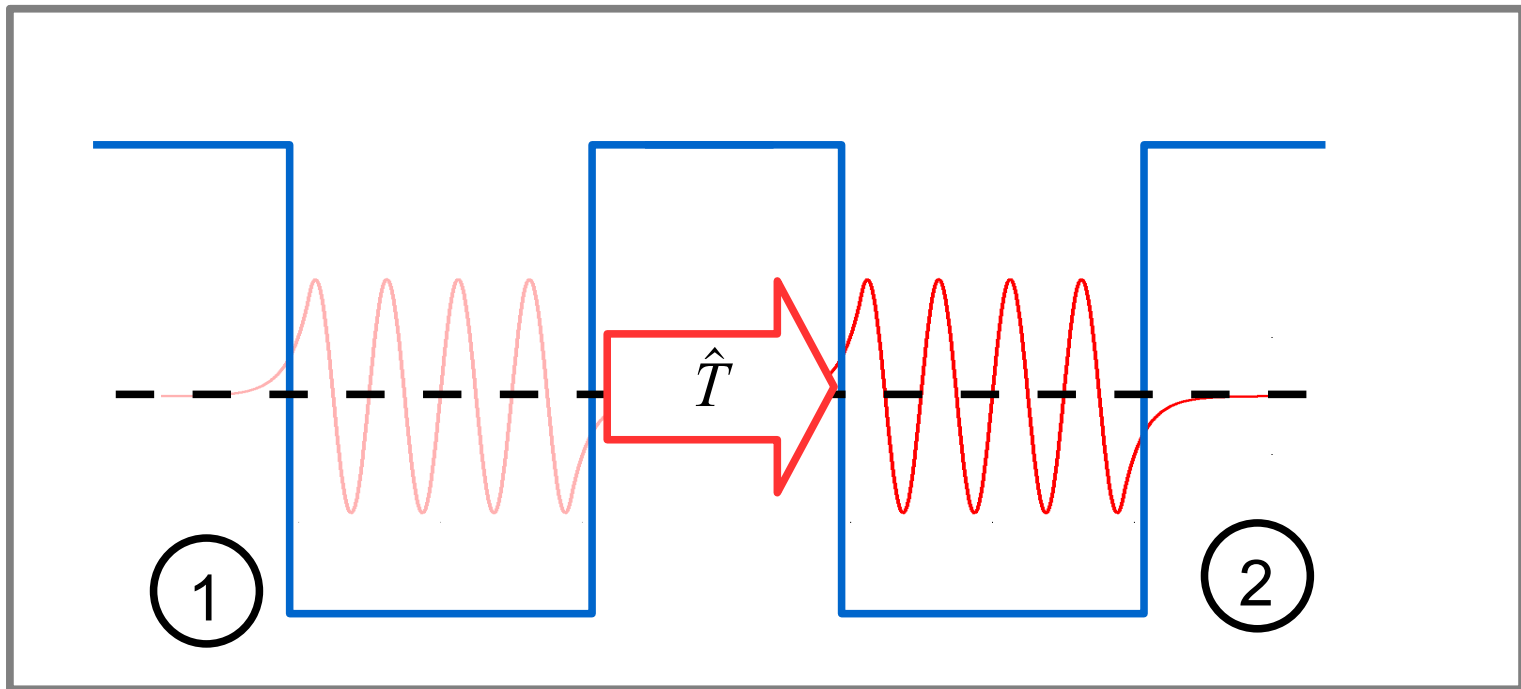


Туннельные осцилляции в связанных ямах



$$\hat{T} \Psi_{1,2} = \hbar T \Psi_{2,1}$$

Туннельные осцилляции в связанных ямах



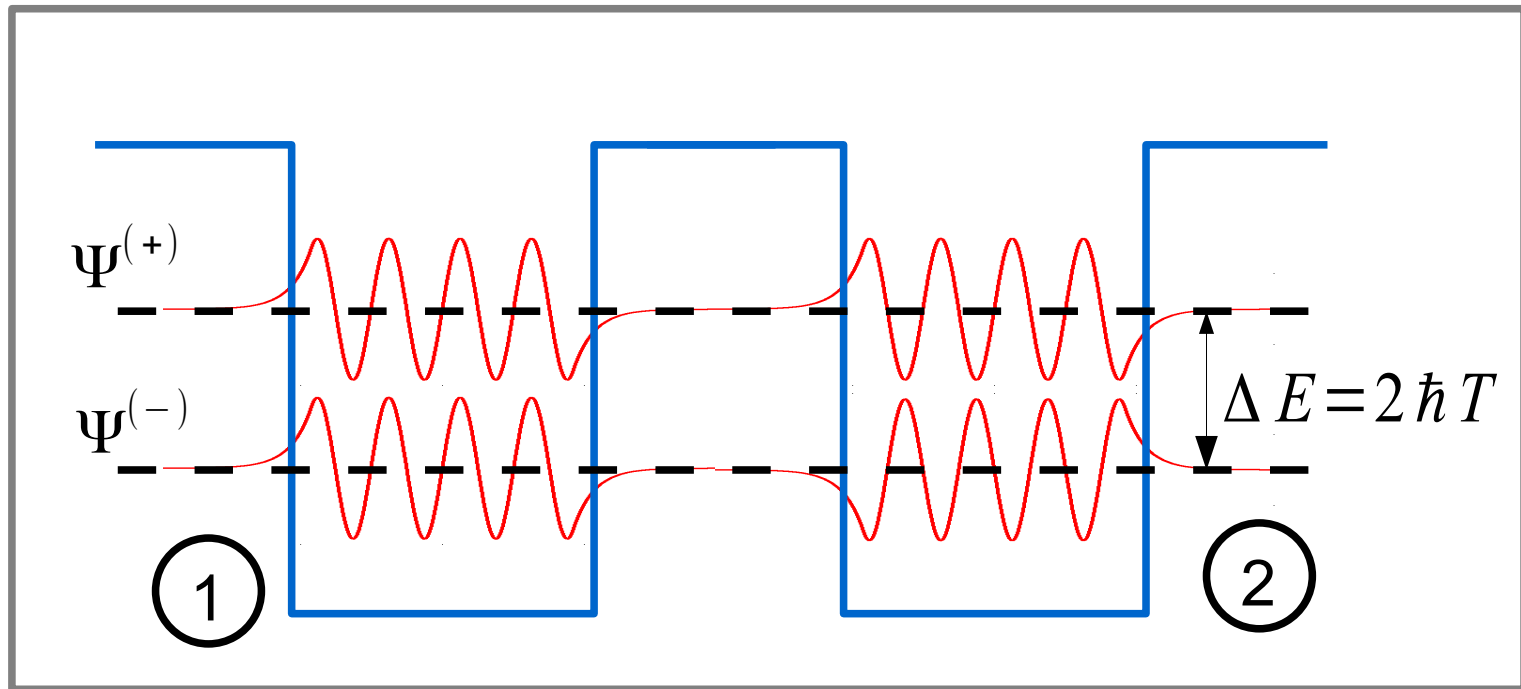
$$\hat{T} \Psi_{1,2} = \hbar T \Psi_{2,1}$$

$$(\hat{H}_0 + \hat{T}) \Psi_1 = E_0 \Psi_1 + \hbar T \Psi_2$$

$$\Psi^{(\pm)} = \frac{1}{\sqrt{2}} (\Psi_1 \pm \Psi_2)$$

$$(\hat{H}_0 + \hat{T}) \Psi^{(\pm)} = E^{(\pm)} \Psi^{(\pm)}$$

Туннельные осцилляции в связанных ямах

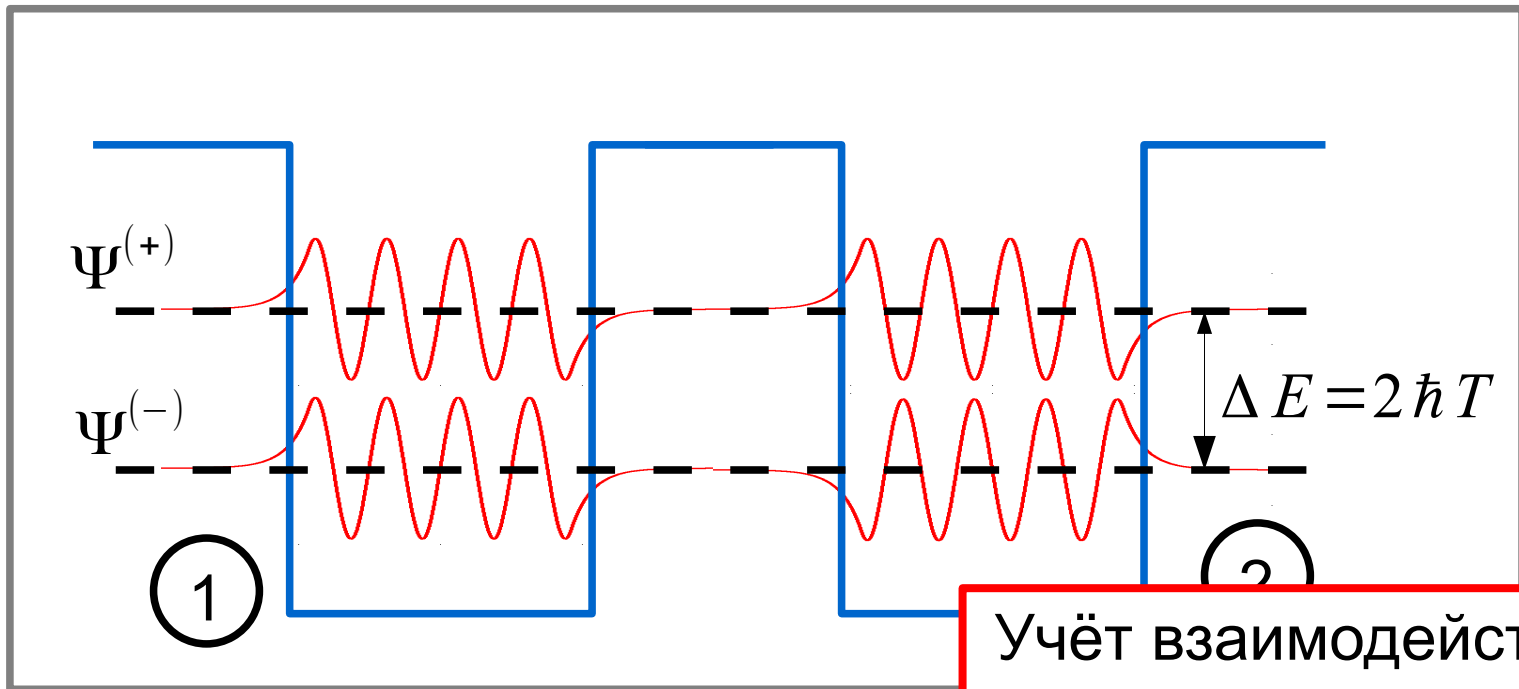


$$\Psi^{(\pm)} = \frac{1}{\sqrt{2}} (\Psi_1 \pm \Psi_2)$$
$$(\hat{H}_0 + \hat{T}) \Psi^{(\pm)} = E^{(\pm)} \Psi^{(\pm)}$$

$$E^{(\pm)} = E_0 \pm \hbar T$$

по осцилляторной теореме меньшую энергию имеет состояние без «дополнительных» нулей в.ф.

Туннельные осцилляции в связанных ямах



$$\Psi^{(\pm)} = \frac{1}{\sqrt{2}}(\Psi_1 \pm \Psi_2)$$

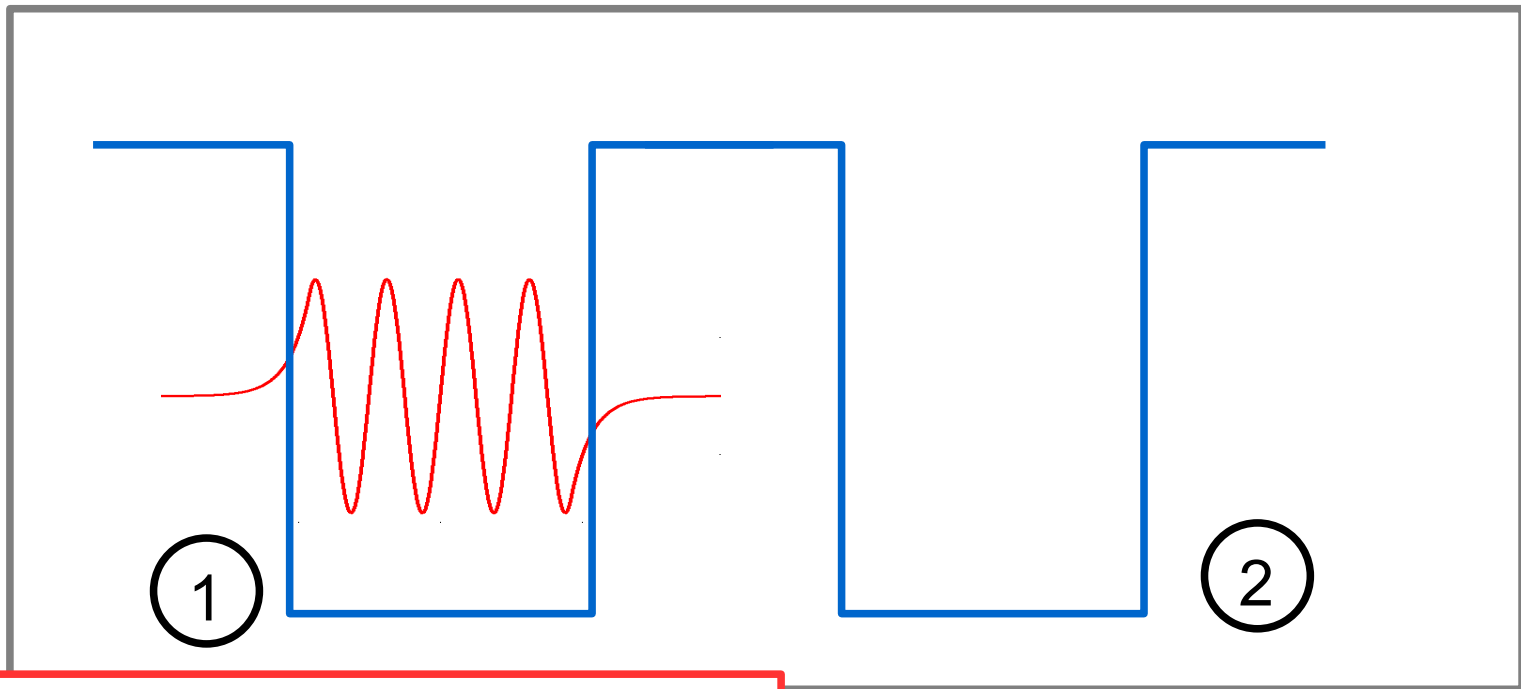
$$(\hat{H}_0 + \hat{T})\Psi^{(\pm)} = E^{(\pm)}\Psi^{(\pm)}$$

$$E^{(\pm)} = E_0 \pm \hbar T$$

по осцилляторной энергии имеют «дополнительных» нули в.ф.

Учёт взаимодействия, смешивающего состояния, снимает вырождение энергетического уровня

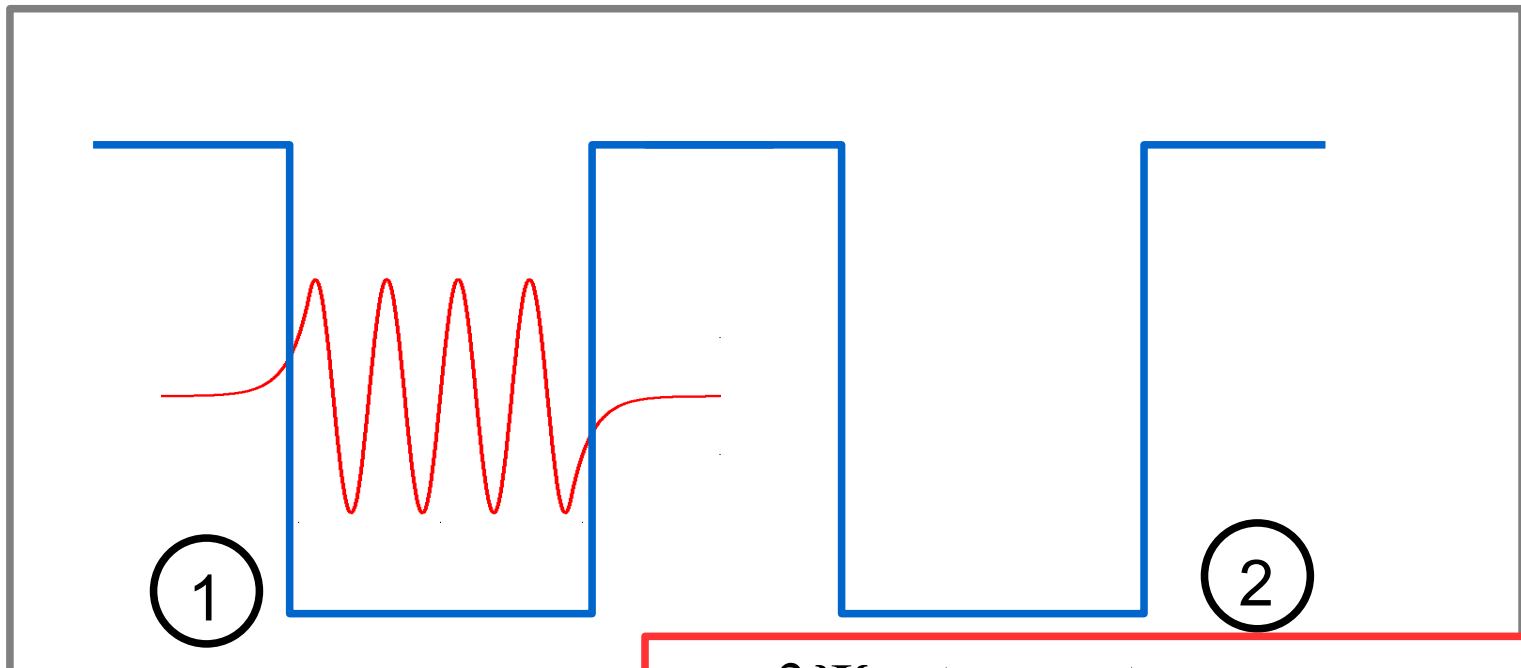
Туннельные осцилляции в связанных ямах



Экспериментатор «создает» в момент $t=0$ состояние

$$\Psi_1 = \frac{\Psi^{(+)} + \Psi^{(-)}}{\sqrt{2}}$$

Туннельные осцилляции в связанных ямах



Экспериментатор «создает»
момент $t=0$ состояние

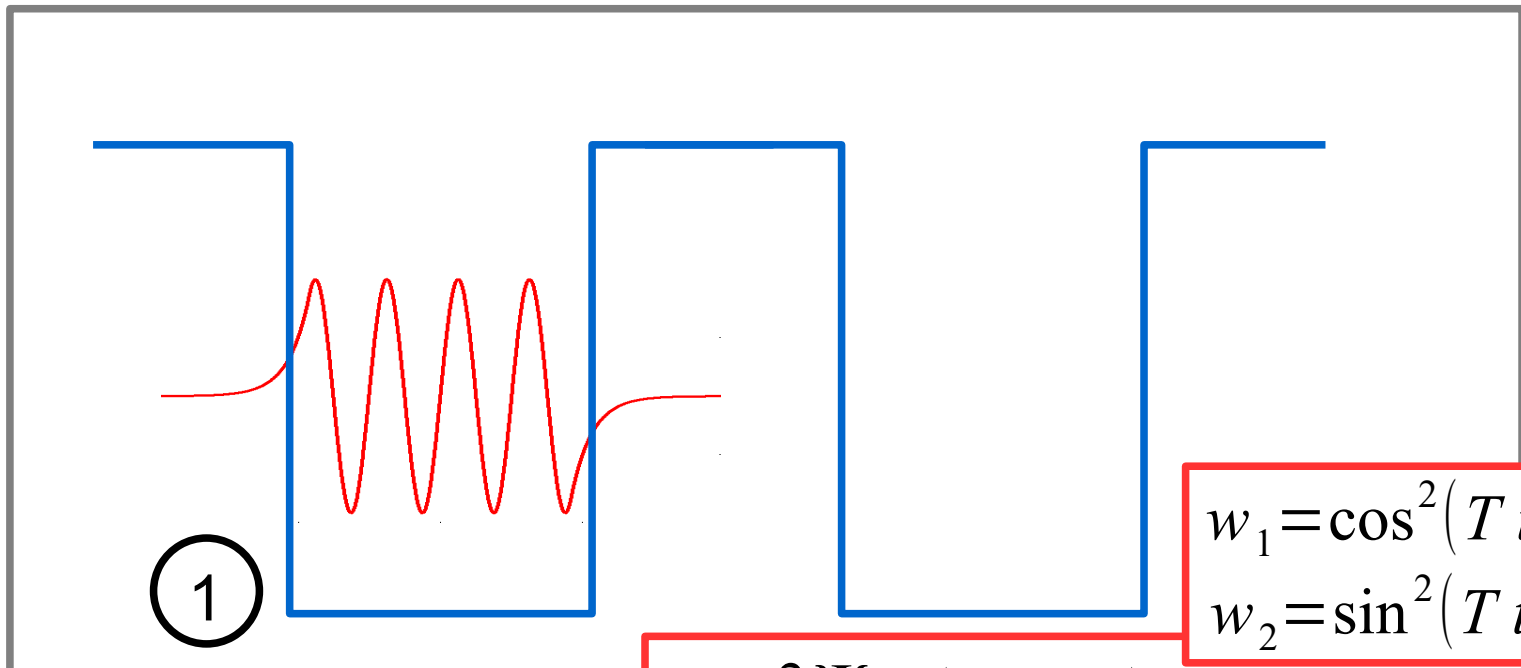
$$\Psi_1 = \frac{\Psi^{(+)} + \Psi^{(-)}}{\sqrt{2}}$$

$$i\hbar \frac{\partial \Psi}{\partial t} = (\hat{H}_0 + \hat{T}) \Psi$$

$$\Psi(t=0) = \Psi_1$$

$$\Psi = e^{-iE_0 t/\hbar} [\Psi_1 \cos(Tt) - i\Psi_2 \sin(Tt)]$$

Туннельные осцилляции в связанных ямах



Экспериментатор «создает»
момент $t=0$ состояние

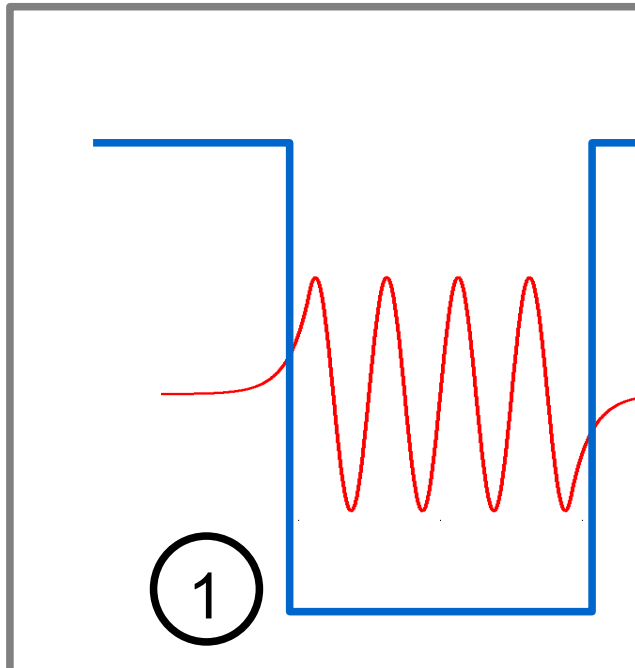
$$\Psi_1 = \frac{\Psi^{(+)} + \Psi^{(-)}}{\sqrt{2}}$$

$$i\hbar \frac{\partial \Psi}{\partial t} = (\hat{H}_0 + \hat{T}) \Psi$$

$$\Psi(t=0) = \Psi_1$$

$$\Psi = e^{-iE_0 t/\hbar} [\Psi_1 \cos(Tt) - i\Psi_2 \sin(Tt)]$$

Туннельные осцилляции в связанных ямах



- 1) Время нахождения в определенном состоянии:

$$\tau \sim \frac{1}{T} \sim \frac{\hbar}{\Delta E}$$

- 2) Под действием смешивающего квантовые состояния воздействия возникают переходы между этими состояниями

Экспериментатор «создает» момент $t=0$ состояние

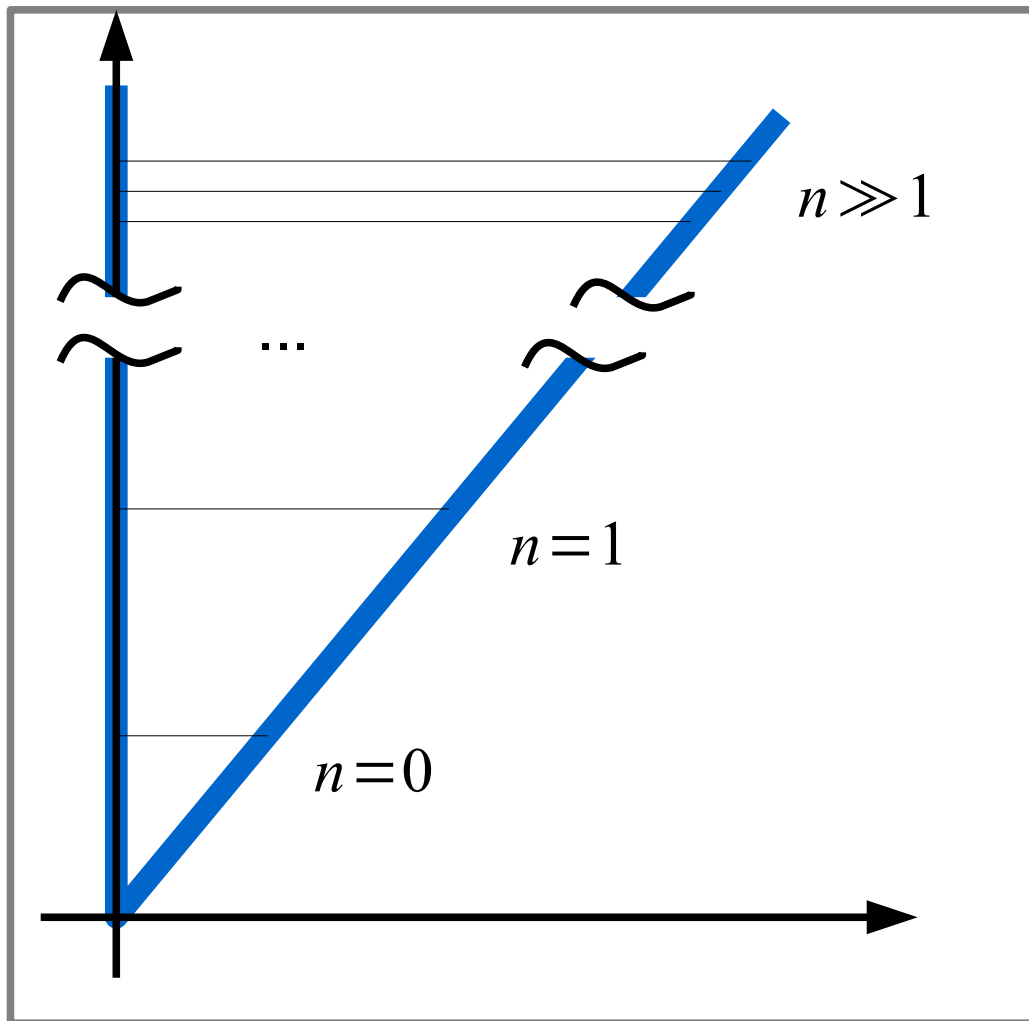
$$\Psi_1 = \frac{\Psi^{(+)} + \Psi^{(-)}}{\sqrt{2}}$$

$$i\hbar \frac{\partial \Psi}{\partial t} = (\hat{H}_0 + \hat{T}) \Psi$$

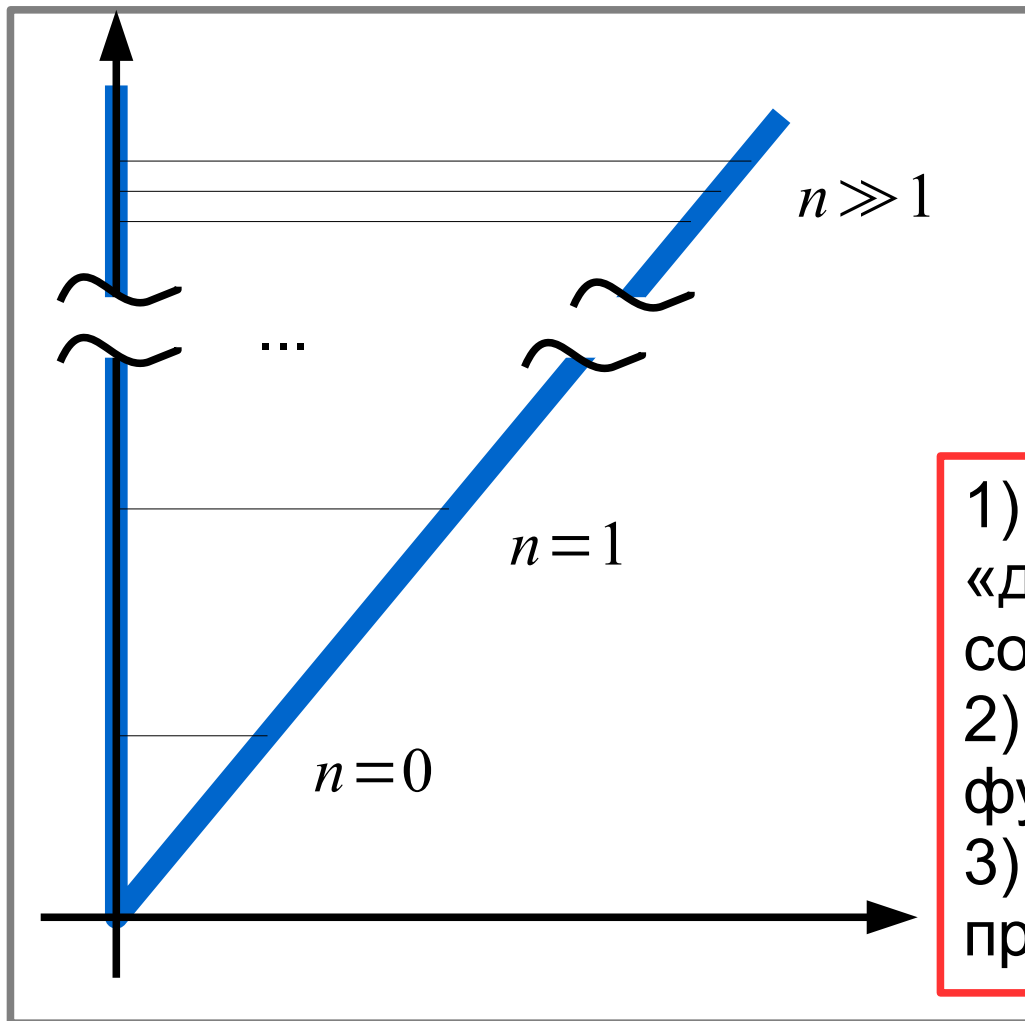
$$\Psi(t=0) = \Psi_1$$

$$\Psi = e^{-iE_0 t/\hbar} [\Psi_1 \cos(Tt) - i\Psi_2 \sin(Tt)]$$

Часть 3. Оценки и приближенные МЕТОДЫ

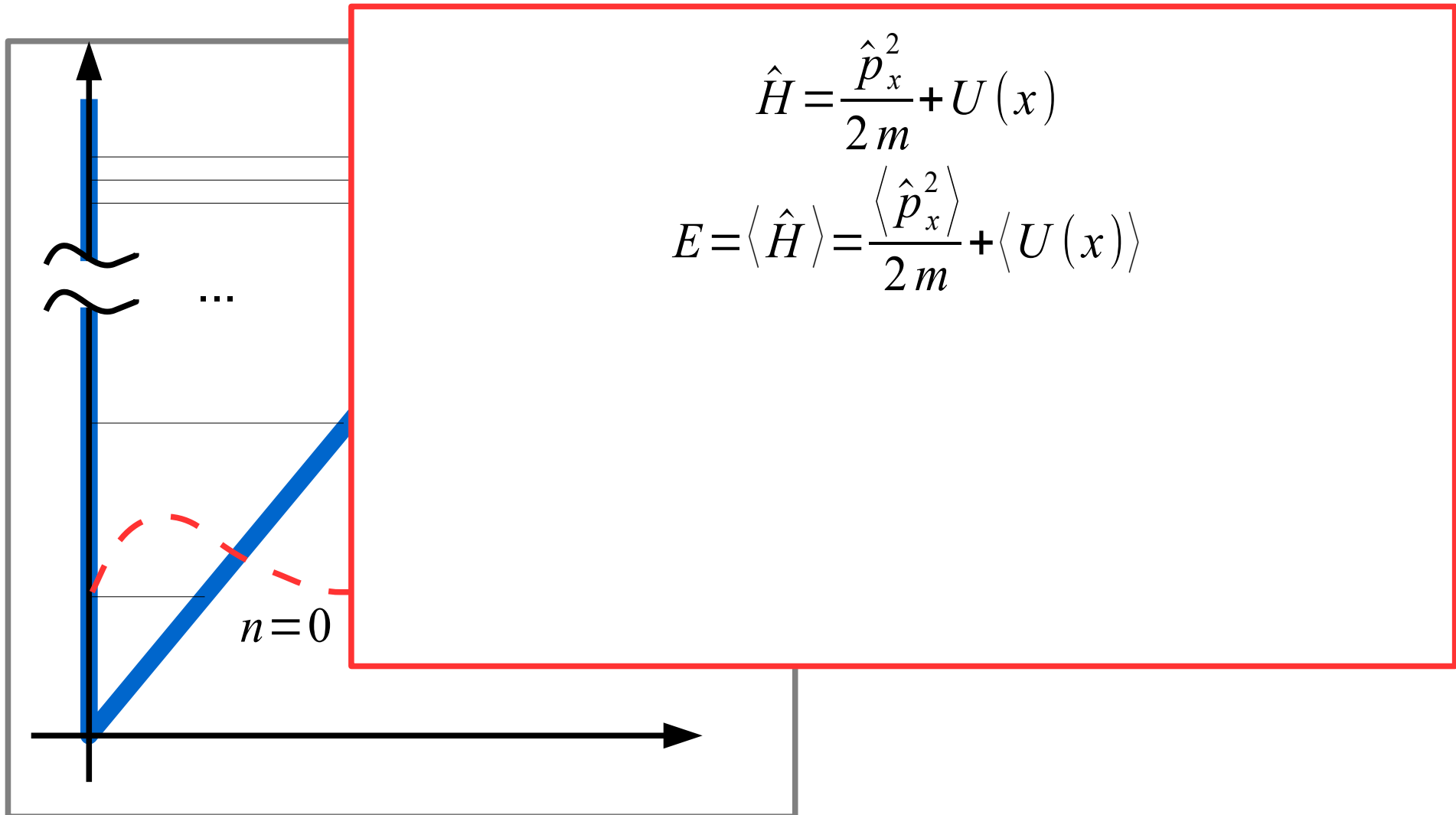


Оценки и приближенные методы

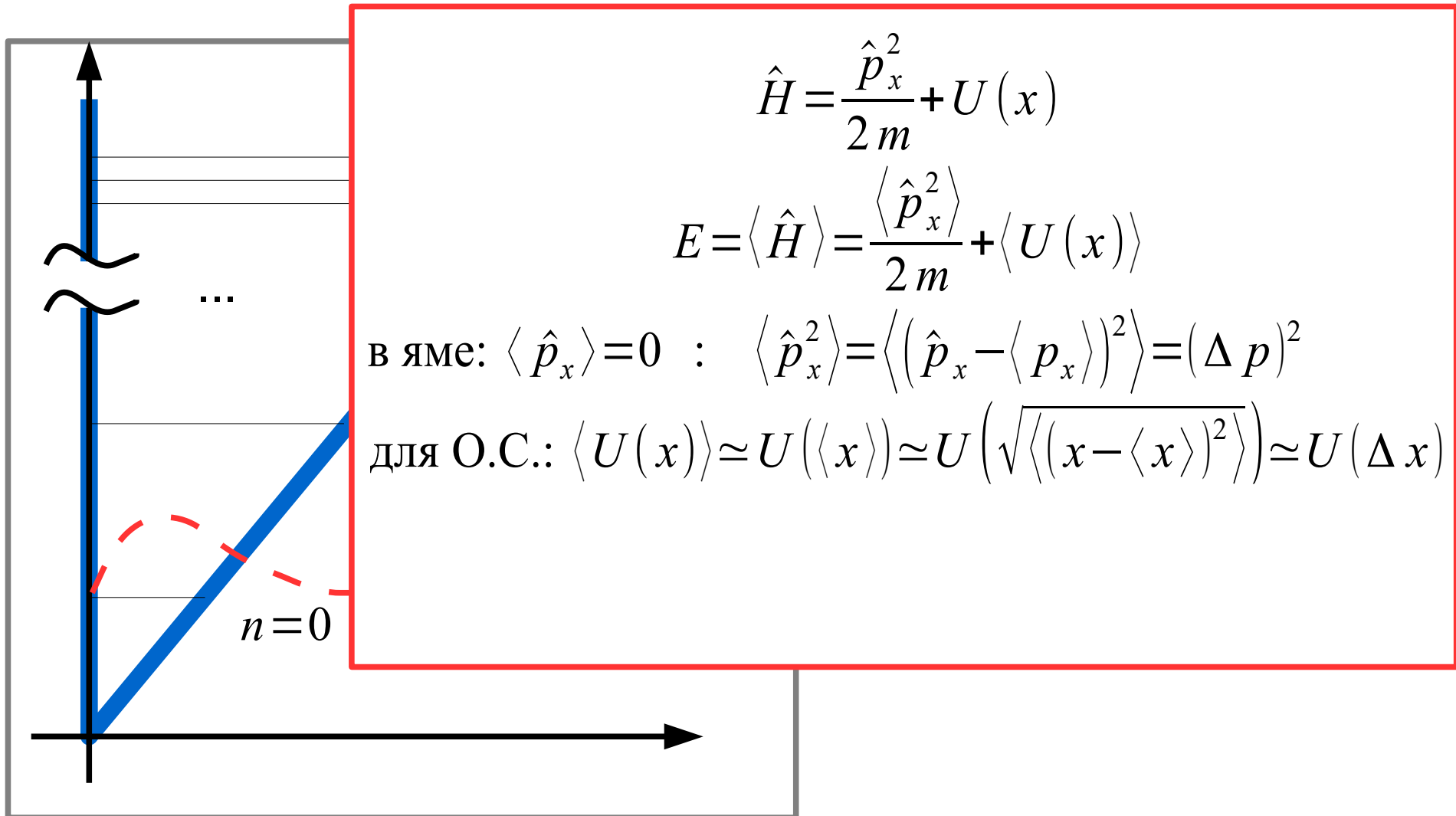


- 1) Оценка энергии и «делокализации» основного состояния
- 2) «Угадывание» волновой функции основного состояния
- 3) Квазиклассическое приближение

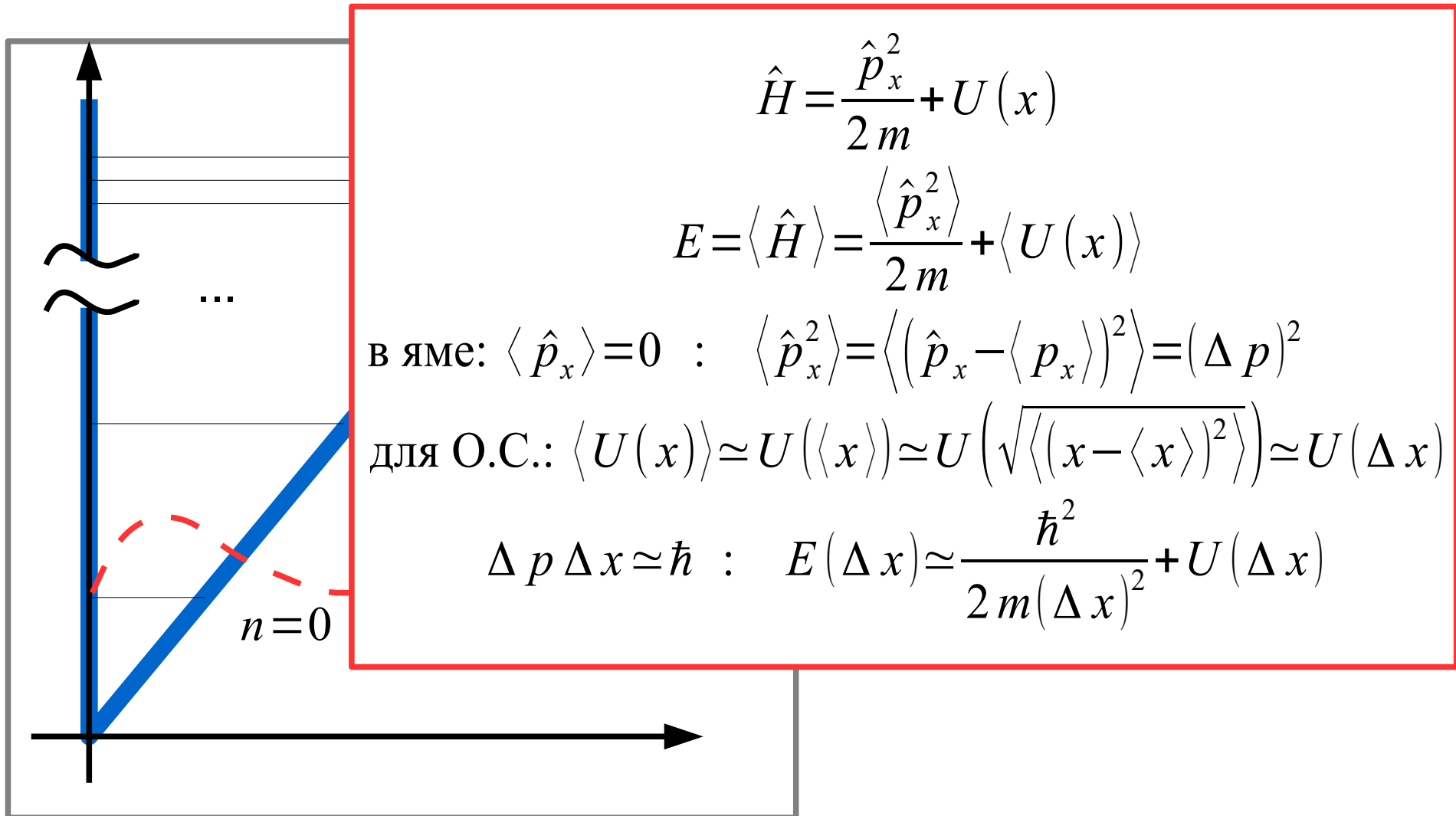
Соотношение неопределенностей: оценки для основного состояния



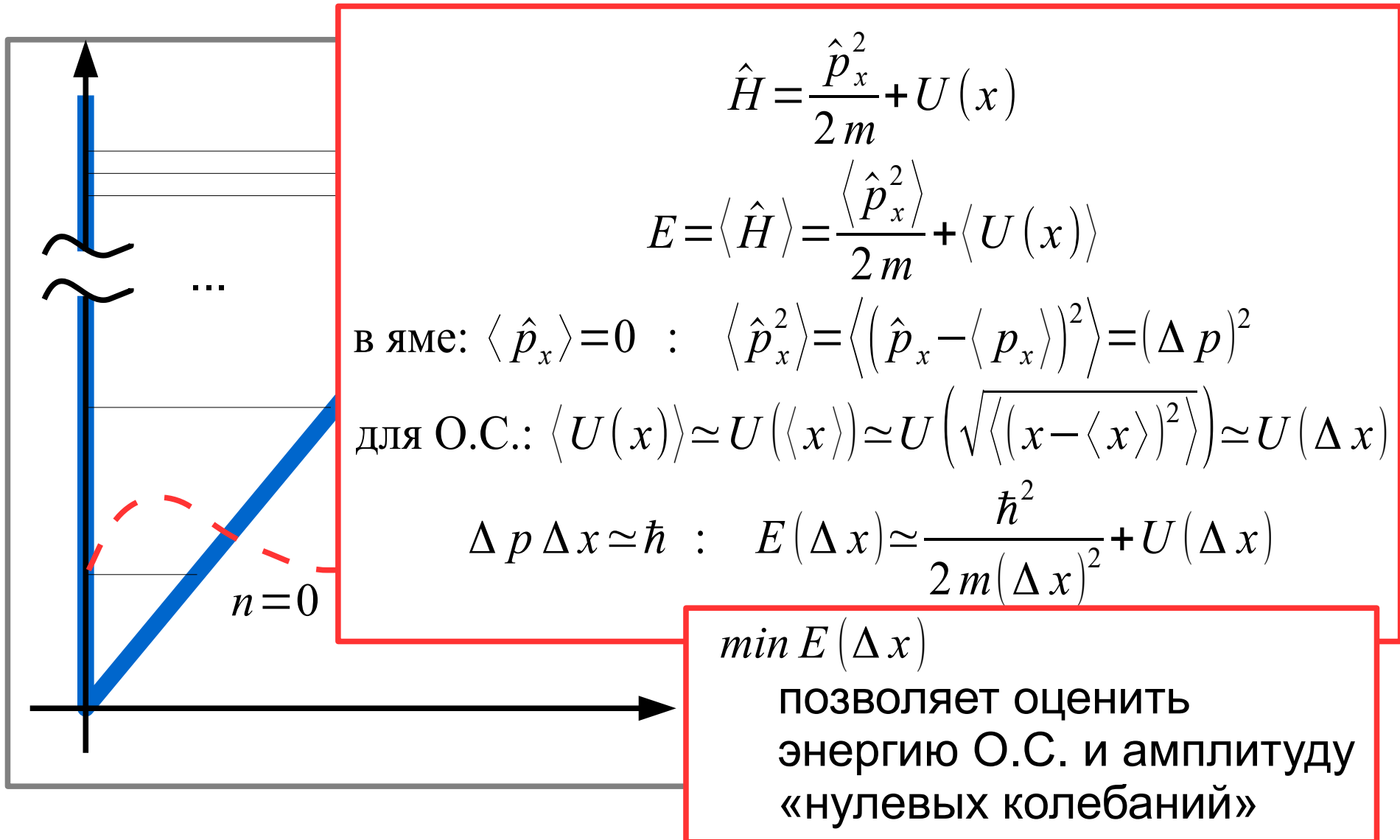
Соотношение неопределенностей: оценки для основного состояния



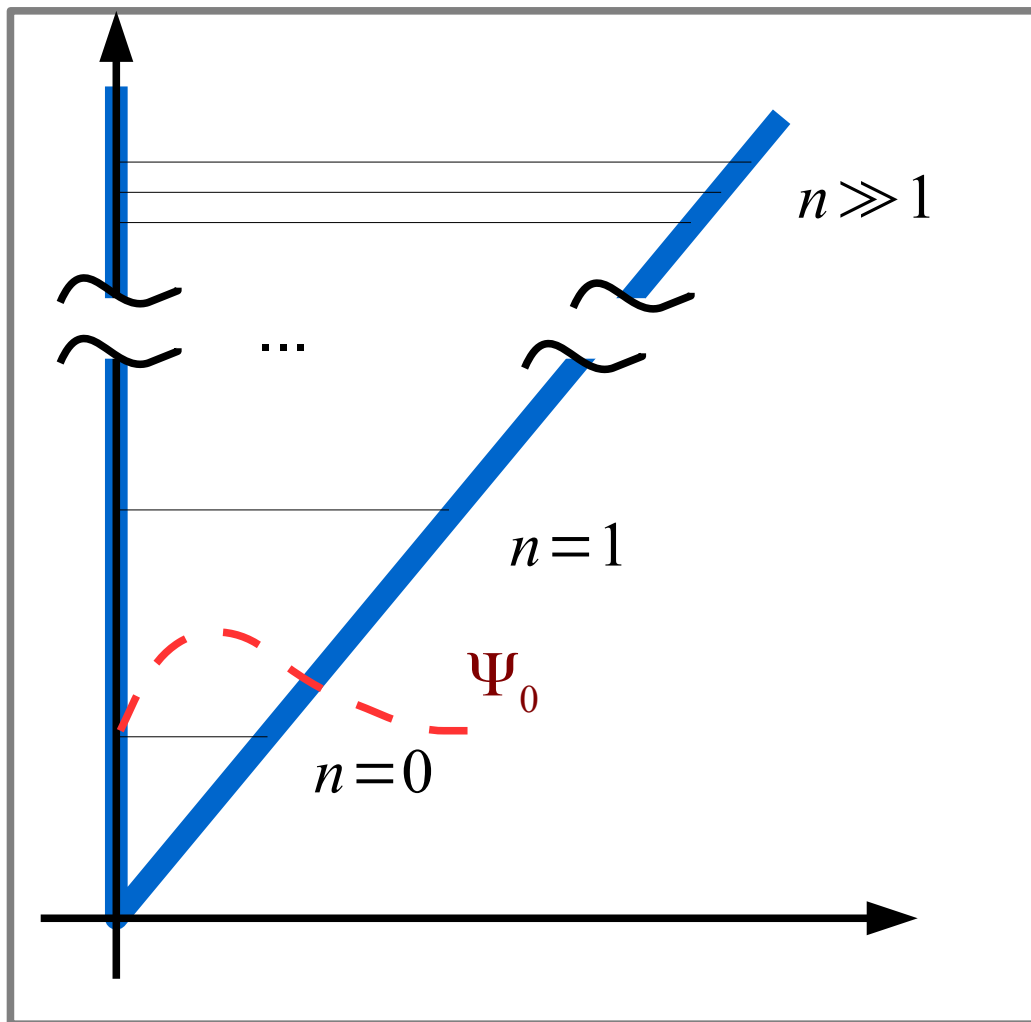
Соотношение неопределенностей: оценки для основного состояния



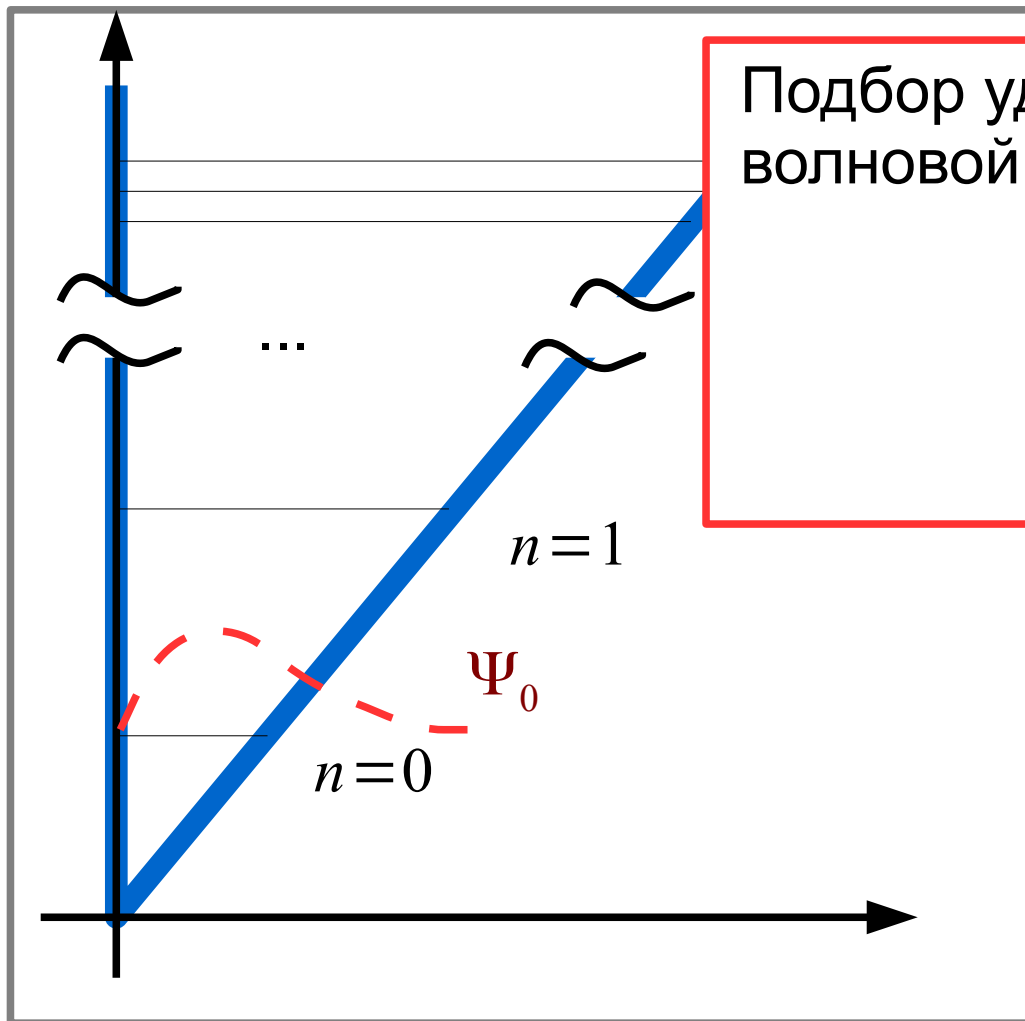
Соотношение неопределенностей: оценки для основного состояния



«Угадывание» волновой функции ОСНОВНОГО СОСТОЯНИЯ



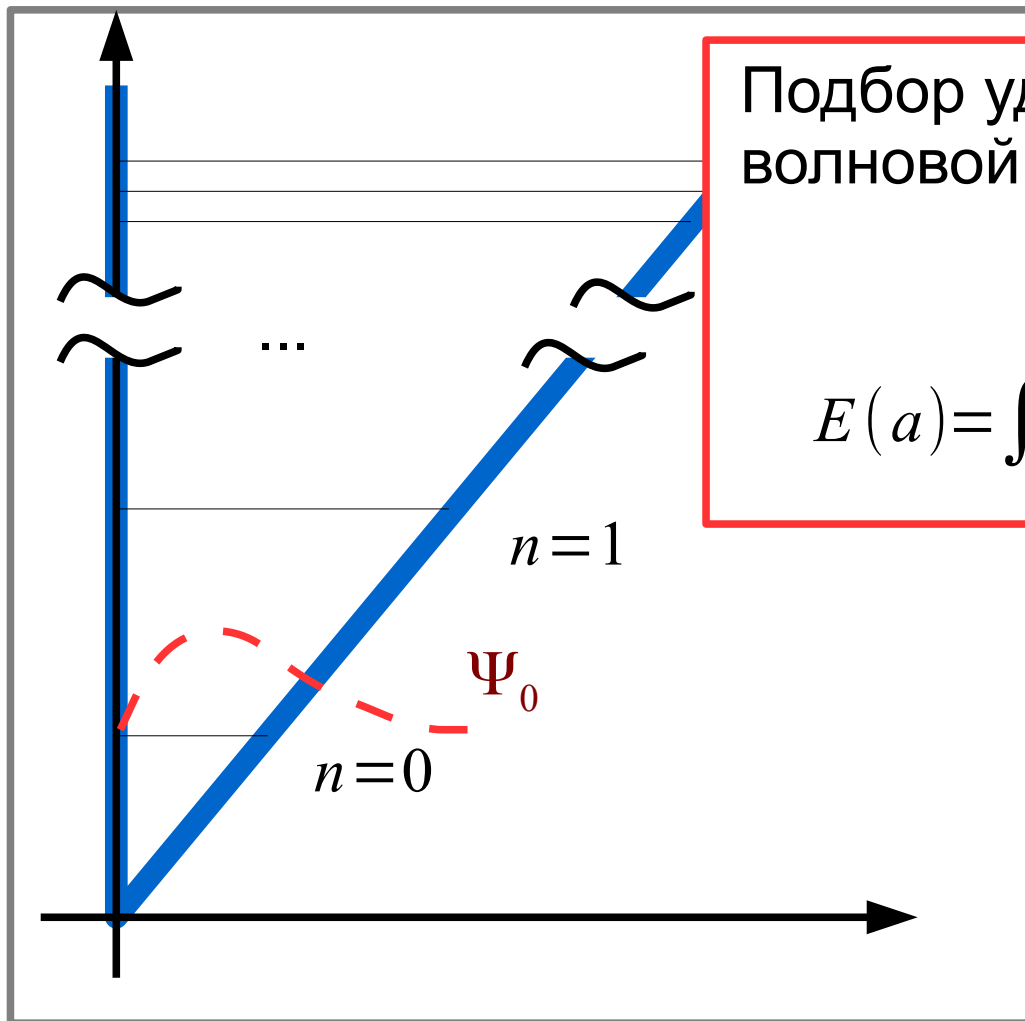
«Угадывание» волновой функции ОСНОВНОГО СОСТОЯНИЯ



Подбор удобной для вычислений
волновой функции, например:

$$\Psi(x, a) = A x e^{-x/a}$$

«Угадывание» волновой функции ОСНОВНОГО СОСТОЯНИЯ

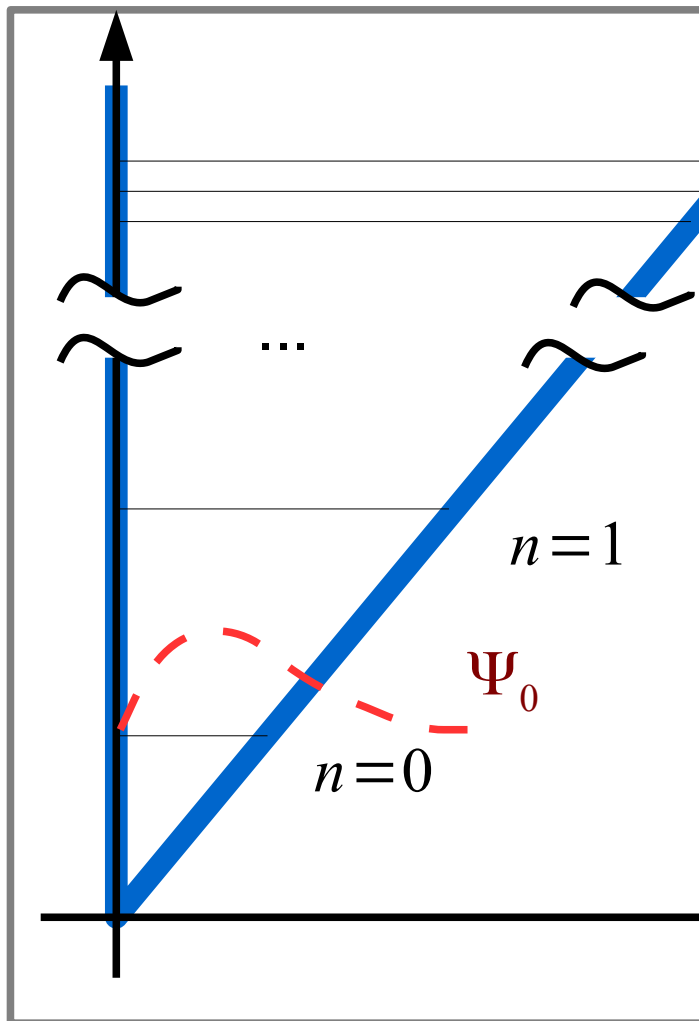


Подбор удобной для вычислений
волновой функции, например:

$$\Psi(x, a) = A x e^{-x/a}$$

$$E(a) = \int \Psi^*(x, a) \hat{H} \Psi(x, a) dx > E_0$$

«Угадывание» волновой функции ОСНОВНОГО СОСТОЯНИЯ



Подбор удобной для вычислений волновой функции, например:

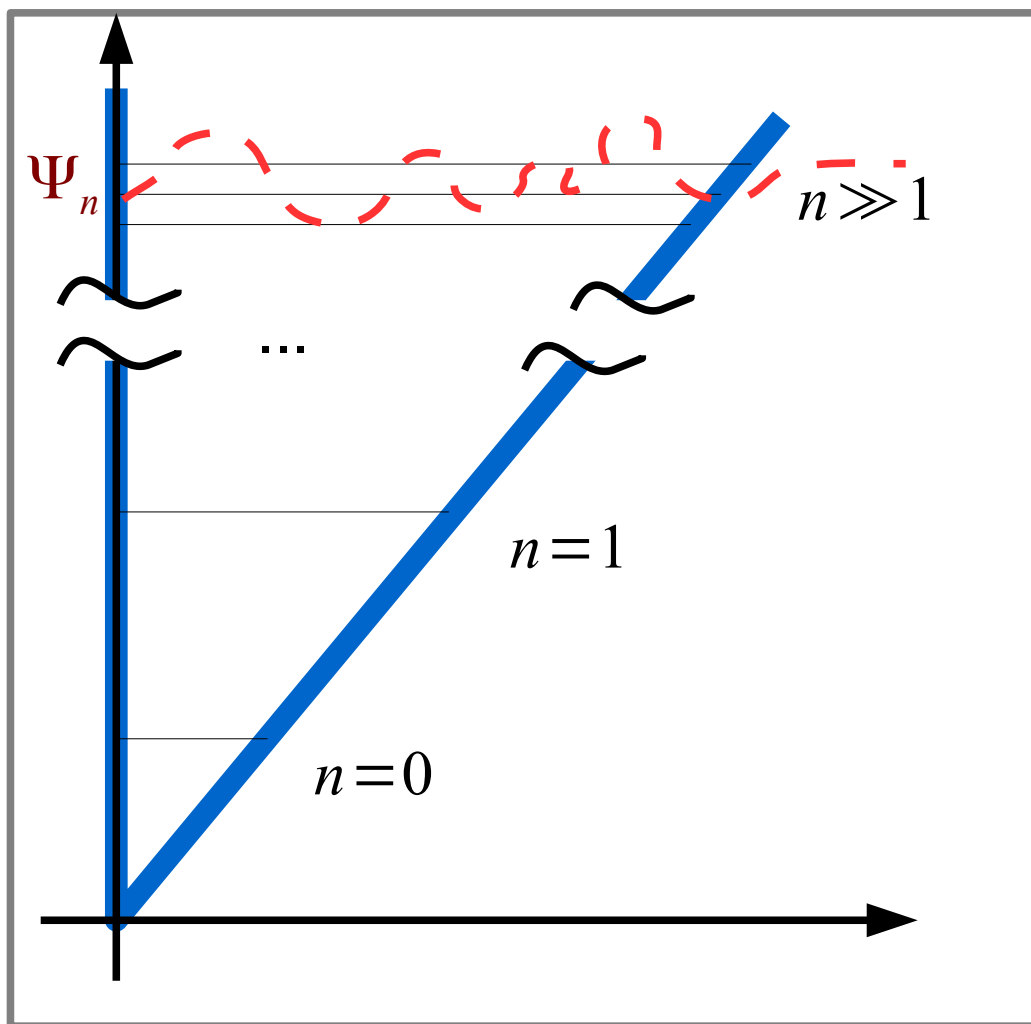
$$\Psi(x, a) = A x e^{-x/a}$$

$$E(a) = \int \Psi^*(x, a) \hat{H} \Psi(x, a) dx > E_0$$

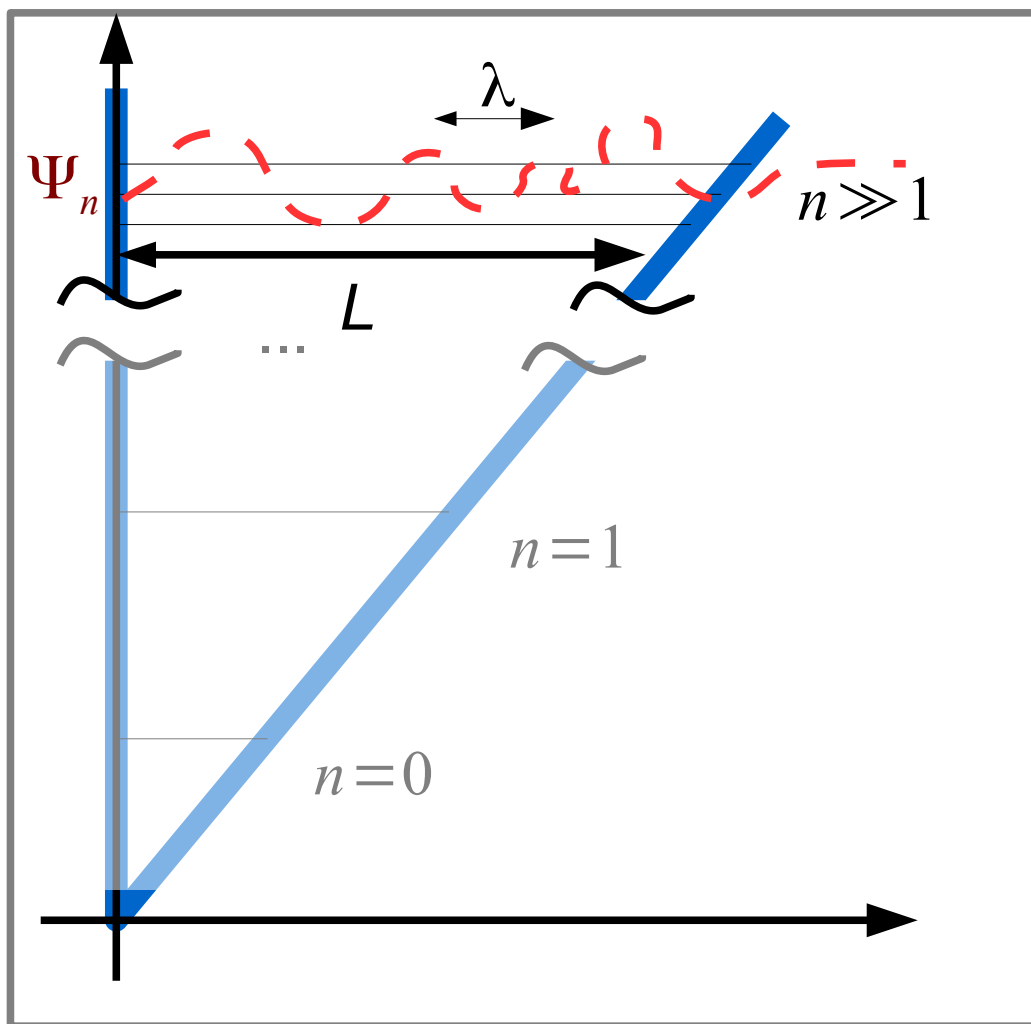
Минимум $E(a)$ приближается к энергии основного состояния.

«Оптимизованная» волновая функция $\Psi(x, a)$ будет «близка» к в.ф. основного состояния Ψ_0

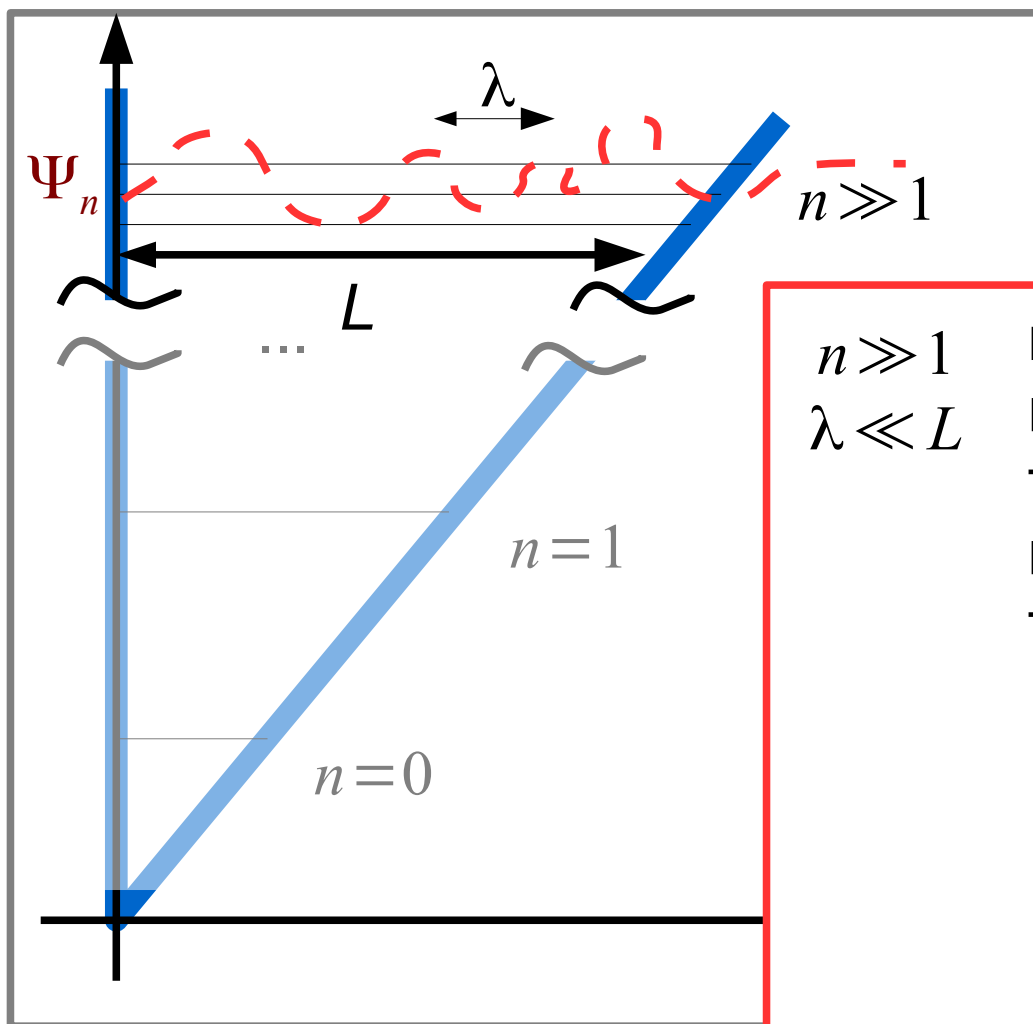
Приближение Бора-Зоммерфельда



Приближение Бора-Зоммерфельда



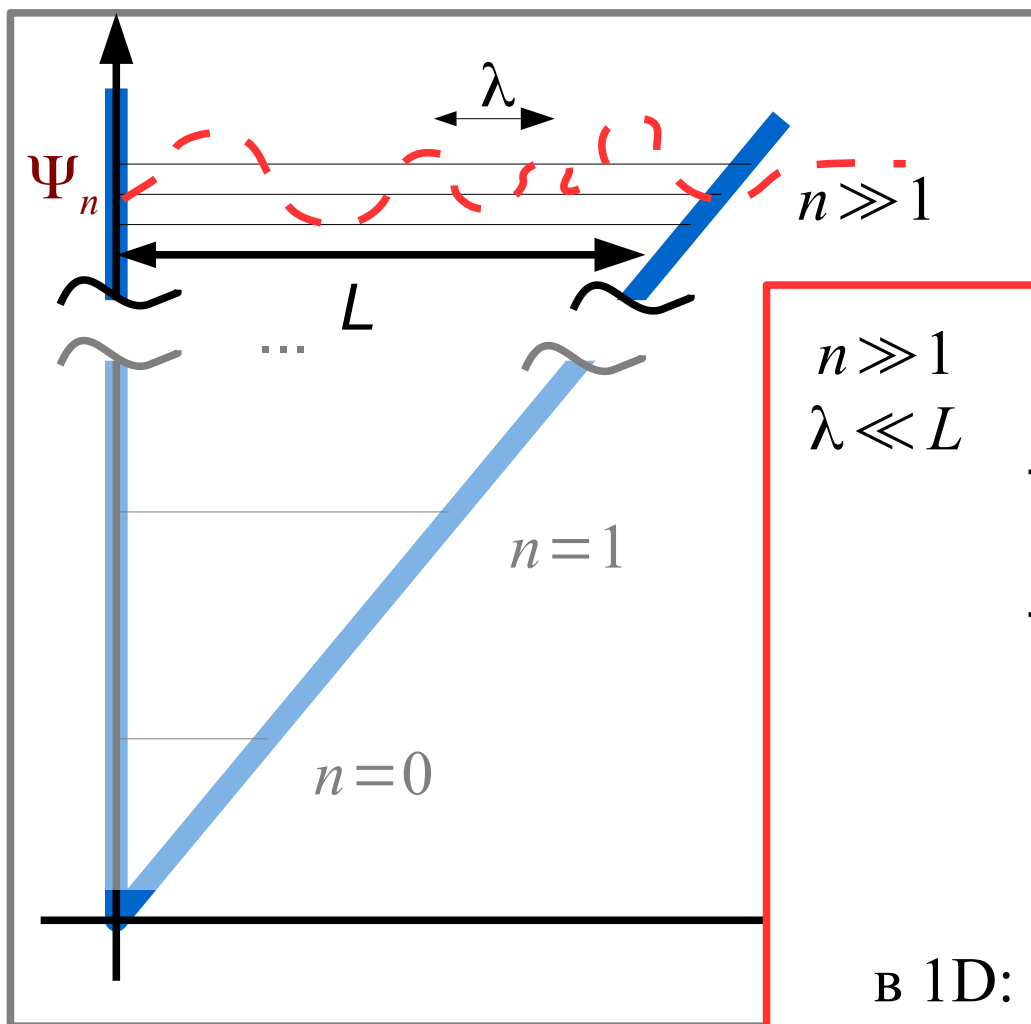
Приближение Бора-Зоммерфельда



$$n \gg 1$$
$$\lambda \ll L$$

волновой пакет частицы
может быть достаточно
точно локализован —
возвращается смысл
траектории частицы

Приближение Бора-Зоммерфельда



$n \gg 1$
 $\lambda \ll L$

волновой пакет частицы
 может быть достаточно
 точно локализован —
 возвращается смысл
 траектории частицы

$$\oint \vec{k}(\vec{r}) d\vec{l} = 2\pi n$$

$$\oint \vec{p}(\vec{r}) d\vec{l} = n h$$

В 1D:
$$2 \int_{x_{min}}^{x_{max}} \sqrt{2m(E - U(x))} dx = n h$$

Часть 4. Момент импульса в квантовой физике



<https://www.youtube.com/watch?v=DcaJQtKHm88>

Момент импульса в квантовой физике



стоп-кадр из <https://www.youtube.com/watch?v=DcaJQtKHm88>

для сферического волчка

$$\hat{H}_{\text{вращ}} = \frac{\hat{\vec{L}}^2}{2I}$$

Момент импульса в квантовой физике



стоп-кадр из <https://www.youtube.com/watch?v=DcaJQtKHm88>

для сферического волчка

$$\hat{H}_{\text{вращ}} = \frac{\hat{\vec{L}}^2}{2I}$$

$$\hat{\vec{L}} = [\vec{r} \times \hat{\vec{p}}] = \begin{pmatrix} y \hat{p}_z - z \hat{p}_y \\ -x \hat{p}_z + z \hat{p}_x \\ x \hat{p}_y - y \hat{p}_x \end{pmatrix}$$

Момент импульса в квантовой физике



MANCHESTER
1824
The University of Manchester

для сферического волчка

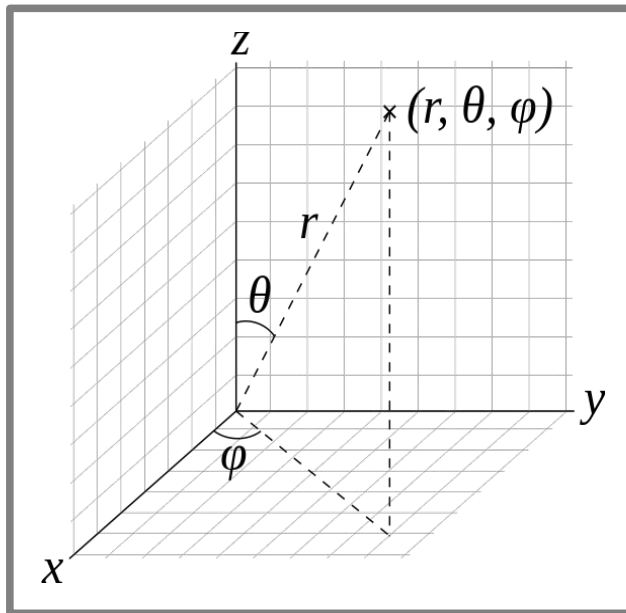
$$\hat{H}_{\text{вращ}} = \frac{\hat{L}^2}{2I}$$

$$\hat{\vec{L}} = [\vec{r} \times \hat{\vec{p}}] = \begin{pmatrix} y \hat{p}_z - z \hat{p}_y \\ -x \hat{p}_z + z \hat{p}_x \\ x \hat{p}_y - y \hat{p}_x \end{pmatrix}$$

стоп-кадр из <https://www.youtube.com/watch?v=DcaJQtKHm88>

В стационарных состояниях L^2 должен иметь строго определенные значения, но все компоненты вектора L одновременно задать невозможно

Немного математики в сферических координатах



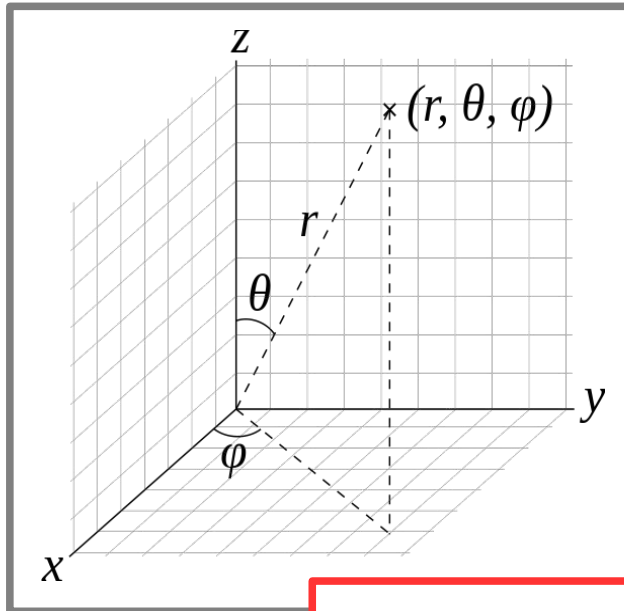
https://en.wikipedia.org/wiki/Spherical_coordinate_system

$$\begin{aligned}X &= r \sin \Theta \cos \phi \\Y &= r \sin \Theta \sin \phi \\Z &= r \cos \Theta\end{aligned}$$

$$\begin{aligned}r &= \sqrt{X^2 + Y^2 + Z^2} \\ \Theta &= \arctg \frac{\sqrt{X^2 + Y^2}}{Z} \\ \phi &= \arctg \frac{Y}{X}\end{aligned}$$

$$\hat{L}_z = x \hat{p}_y - y \hat{p}_x = -i\hbar \left(x \frac{\partial}{\partial y} - y \frac{\partial}{\partial x} \right)$$

Немного математики в сферических координатах



https://en.wikipedia.org/wiki/Spherical_coordinate

$$\begin{aligned} X &= r \sin \Theta \cos \phi \\ Y &= r \sin \Theta \sin \phi \\ Z &= r \cos \Theta \end{aligned}$$

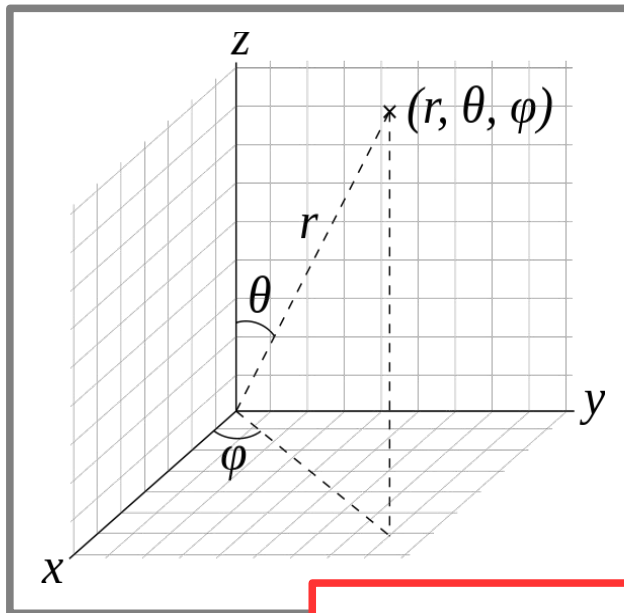
$$\begin{aligned} r &= \sqrt{X^2 + Y^2 + Z^2} \\ \Theta &= \arctg \frac{\sqrt{X^2 + Y^2}}{Z} \\ \phi &= \arctg \frac{Y}{X} \end{aligned}$$

$$\hat{L}_z = x \hat{p}_y - y \hat{p}_x = -i\hbar \left(x \frac{\partial}{\partial y} - y \frac{\partial}{\partial x} \right)$$

$$\hat{L}_z = -i\hbar \frac{\partial}{\partial \phi} \quad \hat{l}_z = -i \frac{\partial}{\partial \phi}$$

$$\Delta f = \frac{1}{r^2} \frac{\partial}{\partial r} \left(r^2 \frac{\partial f}{\partial r} \right) + \frac{1}{r^2 \sin \Theta} \frac{\partial}{\partial \Theta} \left(\sin \Theta \frac{\partial f}{\partial \Theta} \right) + \frac{1}{r^2 \sin^2 \Theta} \frac{\partial^2 f}{\partial \phi^2}$$

Немного математики в сферических координатах



https://en.wikipedia.org/wiki/Spherical_coordinate

$$\begin{aligned} X &= r \sin \Theta \cos \phi \\ Y &= r \sin \Theta \sin \phi \\ Z &= r \cos \Theta \end{aligned}$$

$$\begin{aligned} r &= \sqrt{X^2 + Y^2 + Z^2} \\ \Theta &= \arctg \frac{\sqrt{X^2 + Y^2}}{Z} \\ \phi &= \arctg \frac{Y}{X} \end{aligned}$$

$$\hat{L}_z = x \hat{p}_y - y \hat{p}_x = -i\hbar \left(x \frac{\partial}{\partial y} - y \frac{\partial}{\partial x} \right)$$

$$\Delta f = \frac{1}{r^2} \frac{\partial}{\partial r} \left(r^2 \frac{\partial f}{\partial r} \right) + \frac{1}{r^2 \sin \Theta} \frac{\partial}{\partial \Theta} \left(\sin \Theta \frac{\partial f}{\partial \Theta} \right) + \frac{1}{r^2 \sin^2 \Theta} \frac{\partial^2 f}{\partial \phi^2}$$

$$= -\frac{1}{r^2} \hat{l}^2 f$$

Собственные значения проекции момента

$$\hat{l}_z = -i \frac{\partial}{\partial \phi}$$

$$-i \frac{\partial \Psi}{\partial \phi} = m \Psi$$

$$\Psi = f(r, \Theta) e^{i m \phi}$$

+ требование однозначности при повороте на 2π

Собственные значения проекции момента

$$\hat{l}_z = -i \frac{\partial}{\partial \phi}$$

$$-i \frac{\partial \Psi}{\partial \phi} = m \Psi$$

$$\Psi = f(r, \Theta) e^{i m \phi}$$

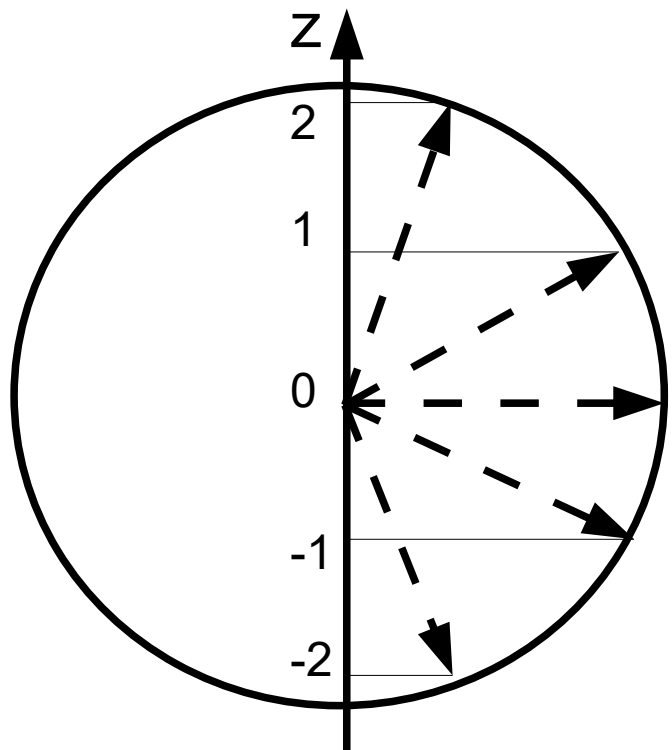
+ требование однозначности при повороте на 2π

m — целое

возможные значения от $-l$ до l

Собственные значения проекции момента

$$\hat{l}_z = -i \frac{\partial}{\partial \phi}$$



«Векторная» модель:

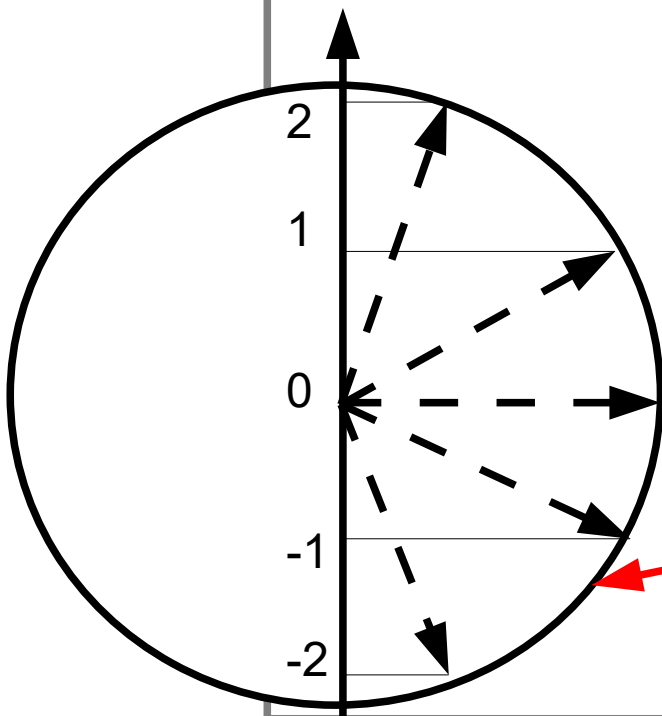
- при заданной длине возможны только дискретные значения проекции на ЛЮБУЮ заданную ось
- соотношения неопределенности запрещают направление «строго вдоль Z»

от $-l$ до l

Собственные значения квадрата момента. Физика.

В отсутствие выделенного направления все значения проекции равновероятны, все оси координат равносильны

$$\begin{aligned}\langle \hat{l}^2 \rangle &= \langle \hat{l}_x^2 + \hat{l}_y^2 + \hat{l}_z^2 \rangle = 3 \langle \hat{l}_z^2 \rangle = \\ &= 3 \times \left[\frac{1}{2l+1} \sum_{m=-l}^l m^2 \right] = \\ &= \frac{3}{2l+1} \times \frac{1}{3} l(l+1)(2l+1) = l(l+1)\end{aligned}$$



$$\sqrt{\langle \hat{l}^2 \rangle} > l$$

Собственные значения квадрата момента. Математика.

$$\hat{l}^2 = - \left(\frac{1}{\sin \Theta} \frac{\partial}{\partial \Theta} \left(\sin \Theta \frac{\partial}{\partial \Theta} \right) + \frac{1}{\sin^2 \Theta} \frac{\partial^2}{\partial \phi^2} \right)$$

$\hat{l}^2 \Psi = A \Psi$ решается в сферических функциях, см ЛЛ.ІІІ, пар.28

$$Y_{lm}(\Theta, \phi) = C_{lm} P_l^{|m|}(\cos \Theta) e^{im\phi}$$

собственные значения $A = l(l+1)$

Собственные значения квадрата момента. Математика.

$$\hat{l}^2 = - \left(\frac{1}{\sin \Theta} \frac{\partial}{\partial \Theta} \left(\sin \Theta \frac{\partial}{\partial \Theta} \right) + \frac{1}{\sin^2 \Theta} \frac{\partial^2}{\partial \phi^2} \right)$$

$\hat{l}^2 \Psi = A \Psi$ решается в сферических функциях, см ЛЛ.Ш, пар.28

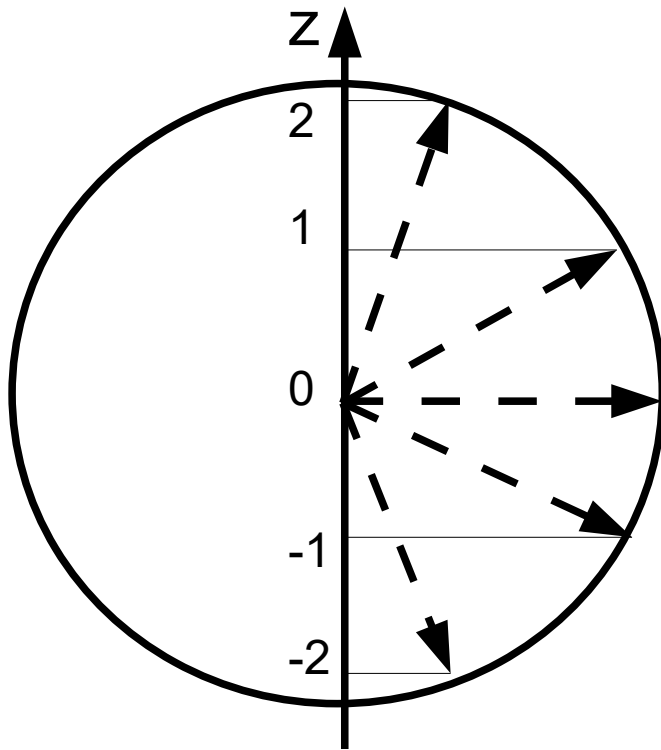
$$Y_{lm}(\Theta, \phi) = C_{lm} P_l^{|m|}(\cos \Theta) e^{im\phi}$$

собственные значения $A = l(l+1)$

Пространственная чётность
состояния с определенным
моментом импульса

$$\begin{aligned} \vec{r} &\Leftrightarrow -\vec{r} \\ \{r, \Theta, \phi\} &\Leftrightarrow \{r, \pi - \Theta, \pi + \phi\} \\ Y_{lm}(\pi - \Theta, \phi + \pi) &= (-1)^l Y_{lm}(\Theta, \phi) \end{aligned}$$

Правила квантования момента импульса



- одновременно могут быть измерены проекция момента на заданную (**любую**, традиционно обозначается Z) ось и квадрат момента импульса
- собственные значения квадрата момента $l(l+1)$, «длиной» вектора момента импульса называют l
- проекция момента импульса — целое число $m = -l, -l+1, \dots, l-1, l$, всего $(2l+1)$ возможность
- чётность состояния с определённым l : $P = (-1)^l$

Часть 5. Движение в центральном поле, некоторые общие свойства

О строгом решении

$$E\Psi = \hat{H}\Psi = \left(\frac{\hat{p}^2}{2m} + U(r) \right) \Psi = \left(-\frac{\hbar^2}{2m} \Delta + U(r) \right) \Psi$$

О строгом решении

$$E\Psi = \hat{H}\Psi = \left(\frac{\hat{p}^2}{2m} + U(r) \right) \Psi = \left(-\frac{\hbar^2}{2m} \Delta + U(r) \right) \Psi$$

$$-\frac{\hbar^2}{2m} \frac{1}{r^2} \frac{\partial}{\partial r} \left(r^2 \frac{\partial \Psi}{\partial r} \right) + U(r) \Psi + \frac{\hbar^2}{2mr^2} \hat{l}^2 \Psi = E\Psi$$

О строгом решении

$$E\Psi = \hat{H}\Psi = \left(\frac{\hat{p}^2}{2m} + U(r) \right) \Psi = \left(-\frac{\hbar^2}{2m} \Delta + U(r) \right) \Psi$$

$$\underbrace{-\frac{\hbar^2}{2m} \frac{1}{r^2} \frac{\partial}{\partial r} \left(r^2 \frac{\partial \Psi}{\partial r} \right)}_{\text{действует только на радиальную часть}} + U(r)\Psi + \frac{\hbar^2}{2mr^2} \hat{l}^2 \Psi = E\Psi$$

действует только
на радиальную
часть

действует
только на
угловую
часть

О строгом решении

$$E \Psi = \hat{H} \Psi = \left(\frac{\hat{p}^2}{2m} + U(r) \right) \Psi = \left(-\frac{\hbar^2}{2m} \Delta + U(r) \right) \Psi$$

$$-\frac{\hbar^2}{2m} \frac{1}{r^2} \frac{\partial}{\partial r} \left(r^2 \frac{\partial \Psi}{\partial r} \right) + U(r) \Psi + \frac{\hbar^2}{2m r^2} \hat{l}^2 \Psi = E \Psi$$

действует только
на радиальную
часть

действует
только на
угловую
часть

$$\Psi = \frac{\xi(r)}{r} \times Y_{lm}(\Theta, \phi)$$

$$-\frac{\hbar^2}{2m} \xi'' + \left(U(r) + \frac{l(l+1)}{r^2} \right) \xi = E \xi$$

Сведена к одномерной задаче, $r > 0$

$$E \Psi = \hat{H} \Psi =$$

$$\Psi(r, \Theta, \phi) = \Psi_{n_r, l, m}$$

$$E = E(n_r, l)$$

$$\frac{2m r^2 \partial r \left(\frac{\partial}{\partial r} \right)}$$

действует только
на радиальную
часть

$$2m r^2$$

действует
только на
угловую
часть

$$\Psi = \frac{\xi(r)}{r} \times Y_{lm}(\Theta, \phi)$$

$$-\frac{\hbar^2}{2m} \xi'' + \left(U(r) + \frac{l(l+1)}{r^2} \right) \xi = E \xi$$

Сведена к одномерной задаче, $r > 0$

$$E \Psi = \hat{H} \Psi =$$

$$\Psi(r, \Theta, \phi) = \Psi_{n_r, l, m}$$

$$E = E(n_r, l)$$

$$\frac{2m}{r^2} \frac{\partial}{\partial r} \left(r^2 \frac{\partial}{\partial r} \right)$$

↑
действует только
на радиальную
часть

Квантовые числа:

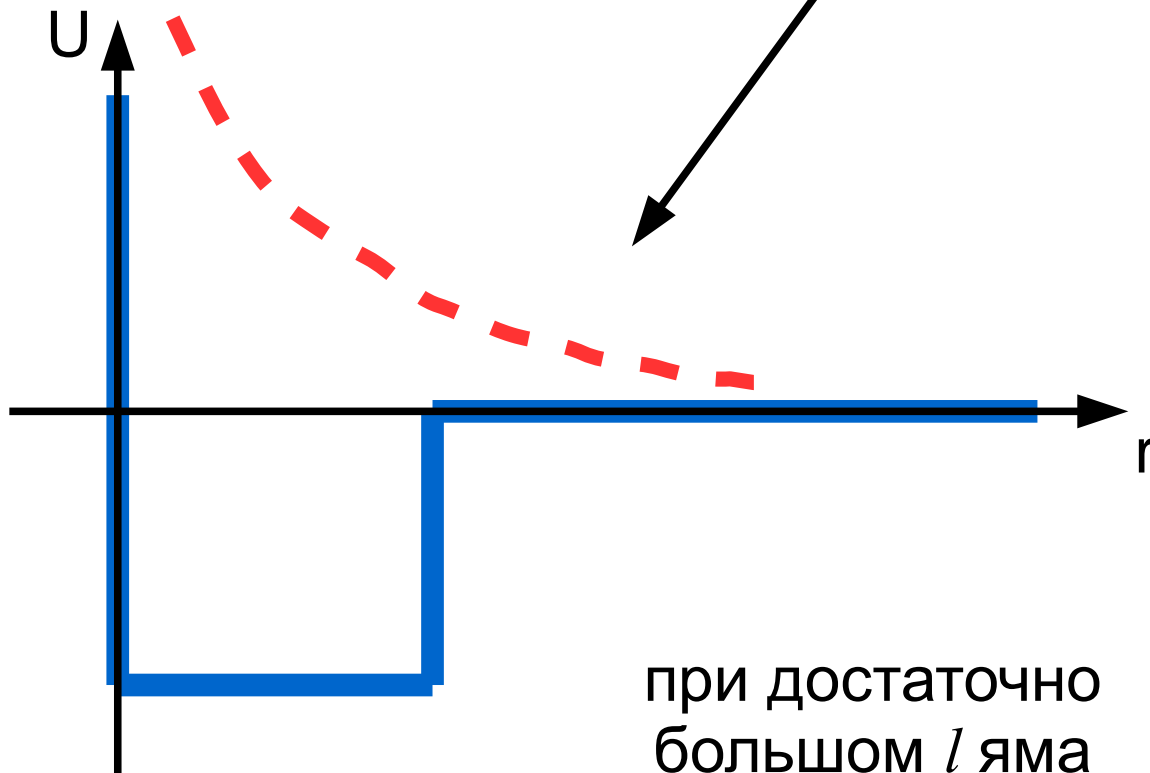
- n_r — радиальное
(0, 1, 2, ...)
- l — орбитальное
{s, p, d, f, ..} = {0, 1, 2, 3, ..}
- m — магнитное

$$\Psi = \frac{\xi(r)}{r} \times Y_{lm}(\Theta, \phi)$$

$$-\frac{\hbar^2}{2m} \xi'' + \left(U(r) + \frac{l(l+1)}{r^2} \right) \xi = E \xi$$

центробежная энергия

$$E \Psi = \hat{H} \Psi =$$



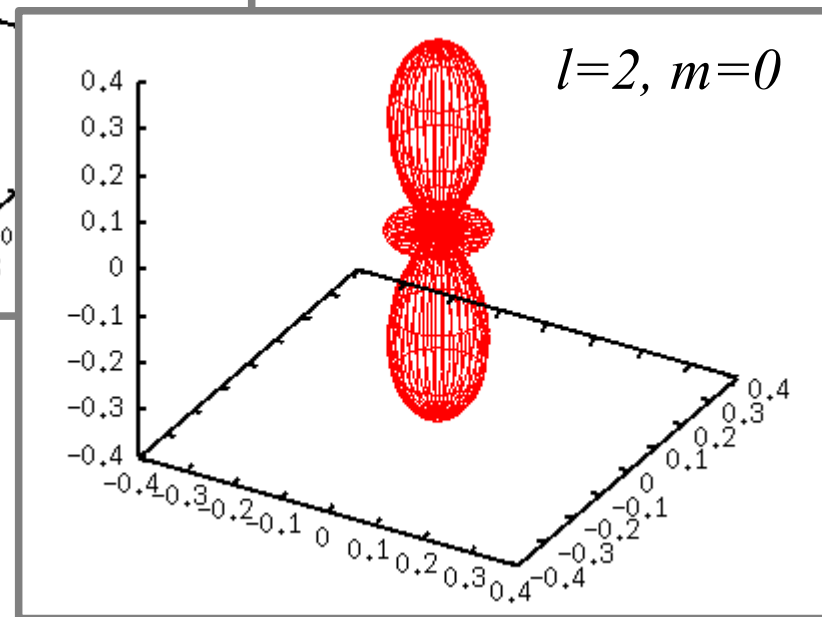
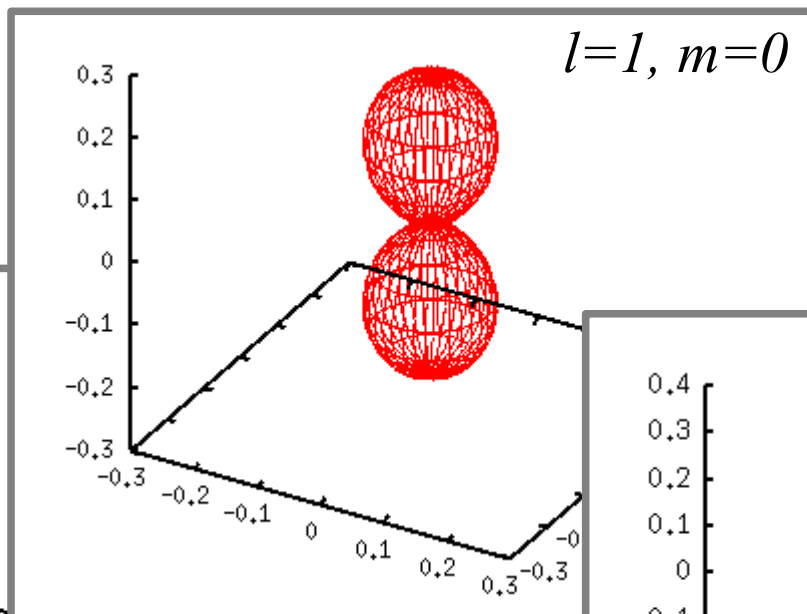
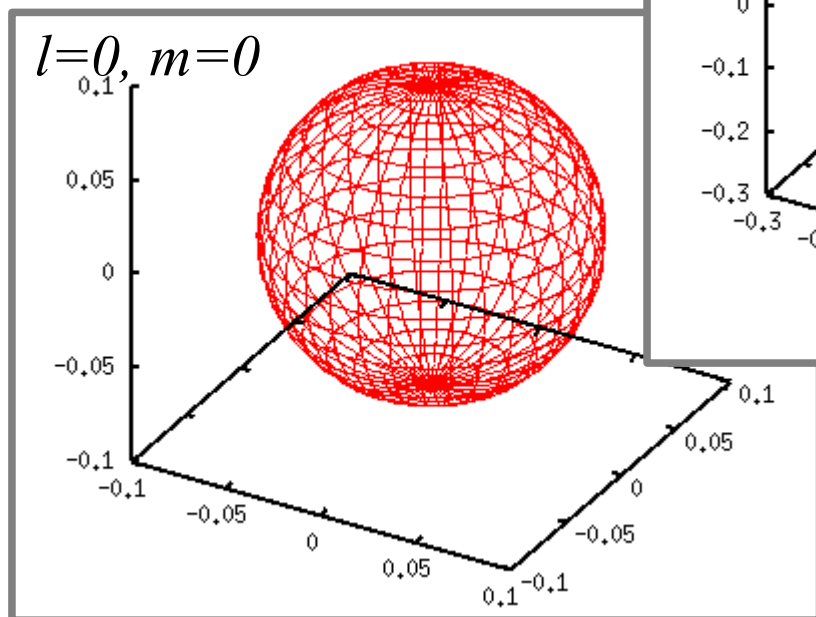
ответ
ко на
вую
сть

при достаточно
большом l яма
может «пропасть»

Вид некоторых волновых функций (угловая часть).

$$-\frac{\hbar^2}{2m} \xi'' + \left(U(r) + \frac{l(l+1)}{r^2} \right) \xi = E \xi$$

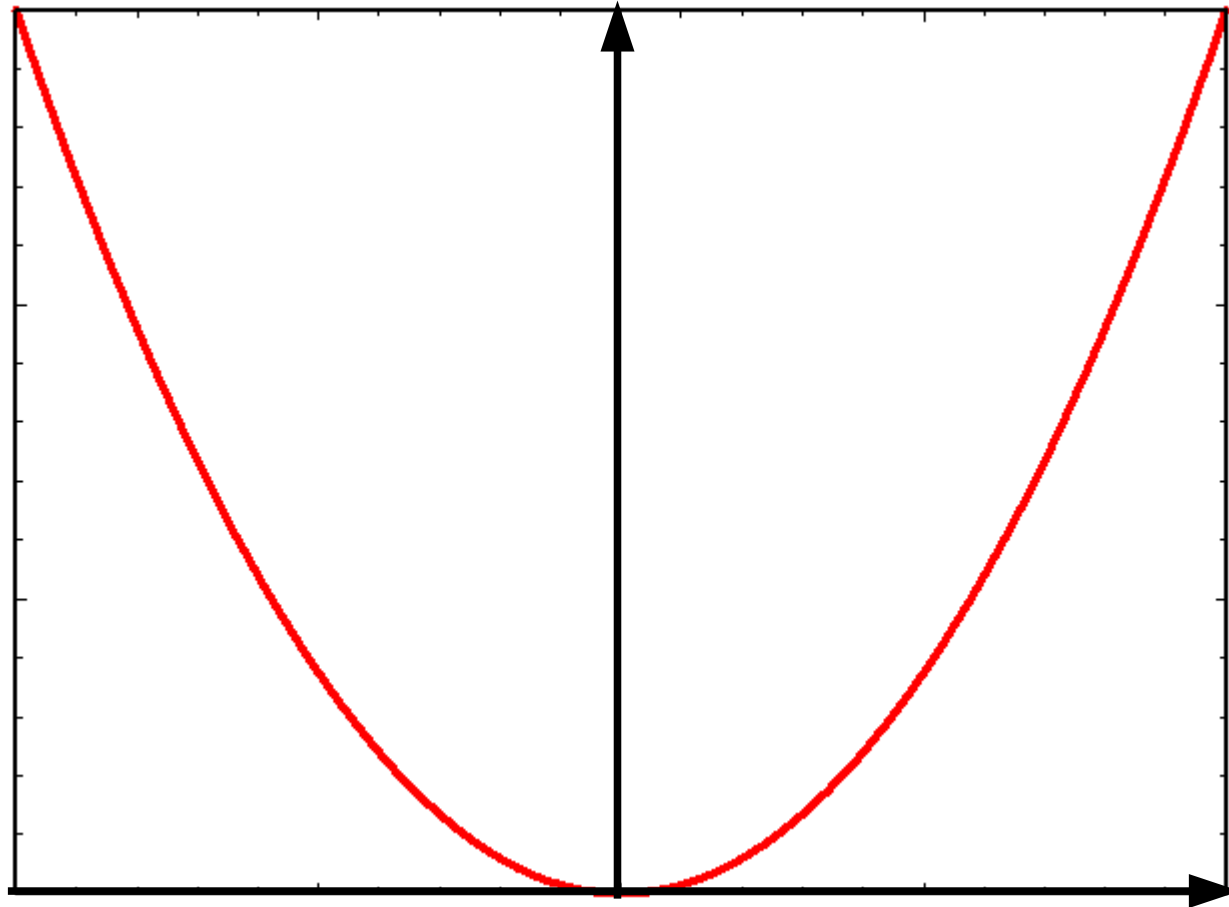
$$\Psi = \frac{\xi(r)}{r} \times Y_{lm}(\Theta, \phi)$$



Часть 6. Трехмерный осциллятор и кулоновское поле

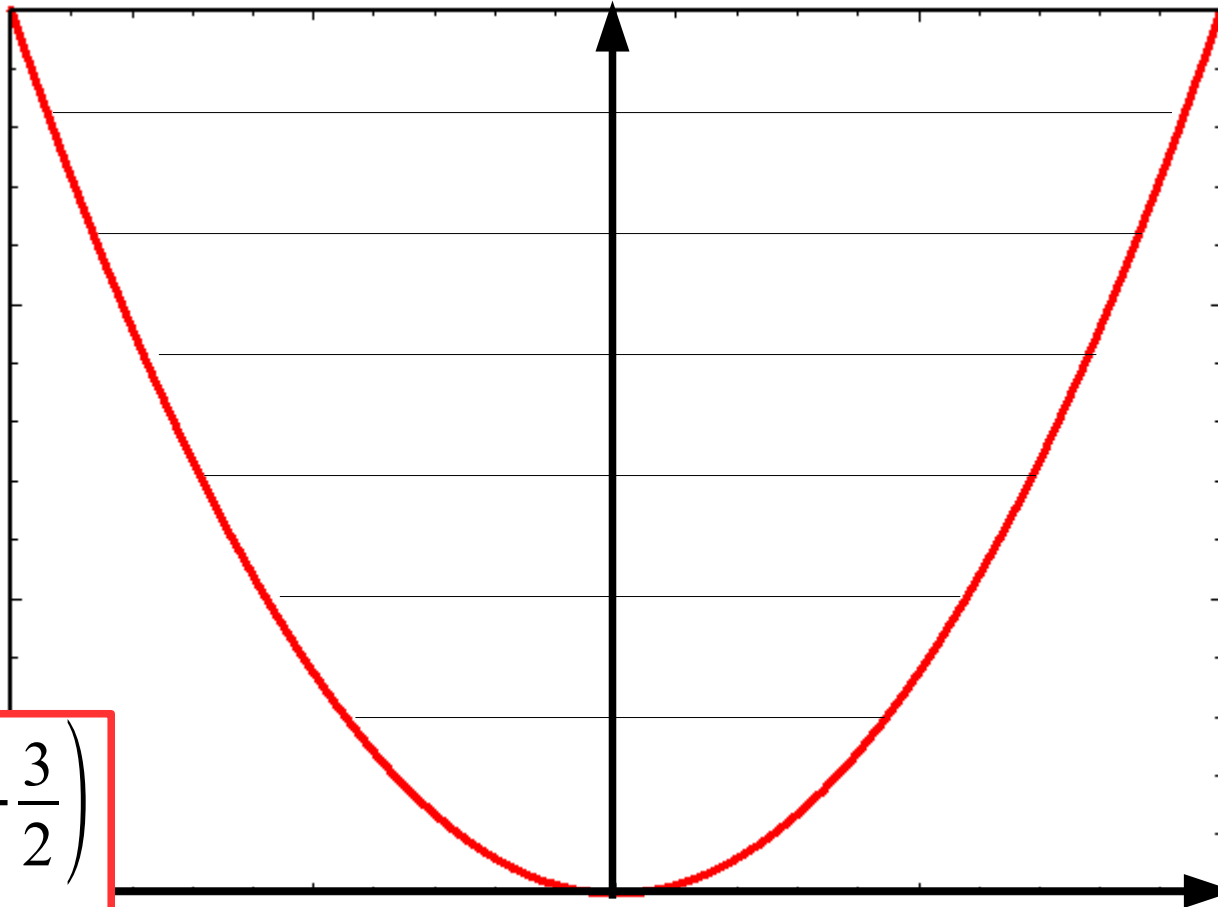
Трёхмерный осциллятор $U=kr^2/2$

$$-\frac{\hbar^2}{2m} \Delta \Psi + \frac{kr^2}{2} \Psi = E \Psi$$



Трёхмерный осциллятор $U=kr^2/2$

$$-\frac{\hbar^2}{2m} \Delta \Psi + \frac{kr^2}{2} \Psi = E \Psi$$



$$E_n = \hbar \omega \left(n + \frac{3}{2} \right)$$

$$n = n_x + n_y + n_z$$

Трёхмерный осциллятор $U=kr^2/2$

$$-\frac{\hbar^2}{2m} \Delta \Psi + \frac{kr^2}{2} \Psi = E \Psi$$

кратность
вырождения:

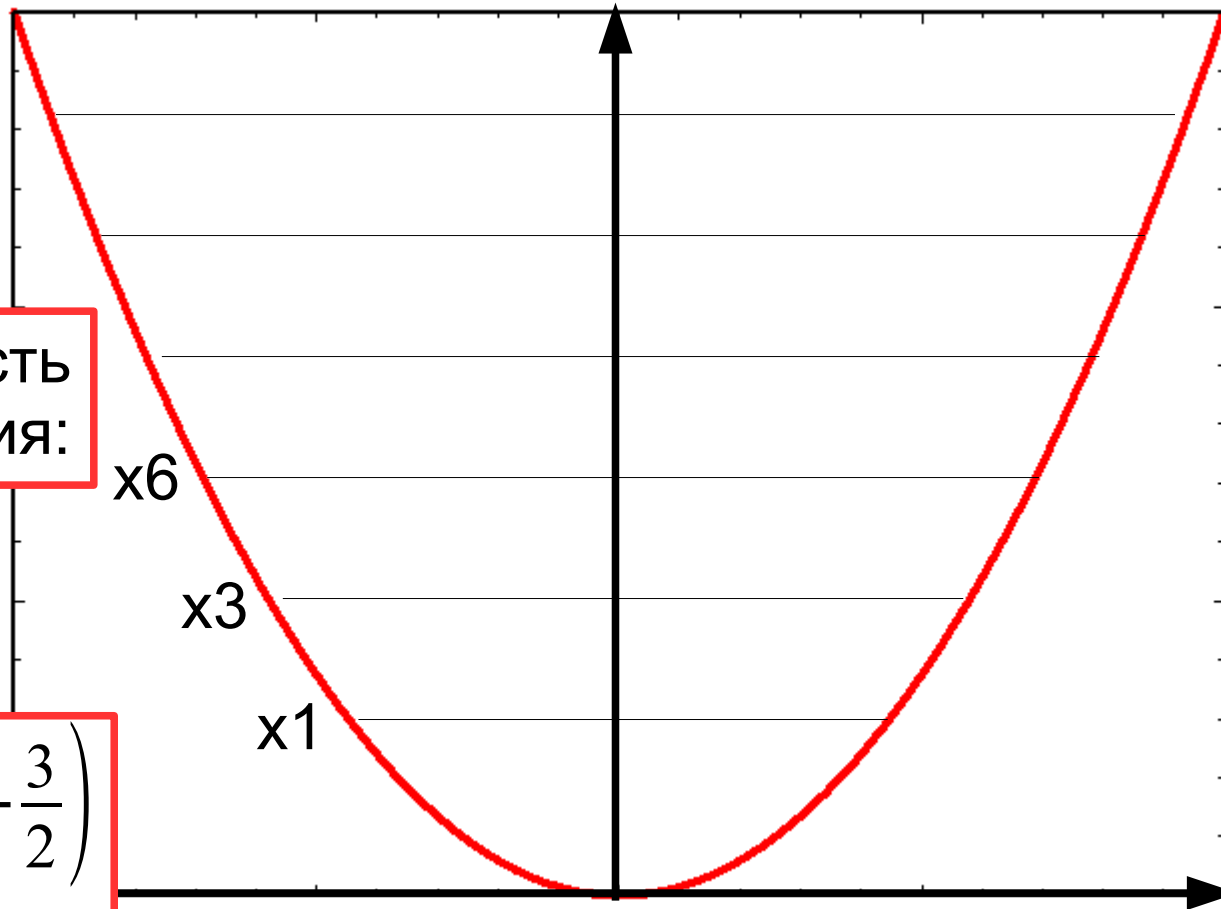
x6

x3

x1

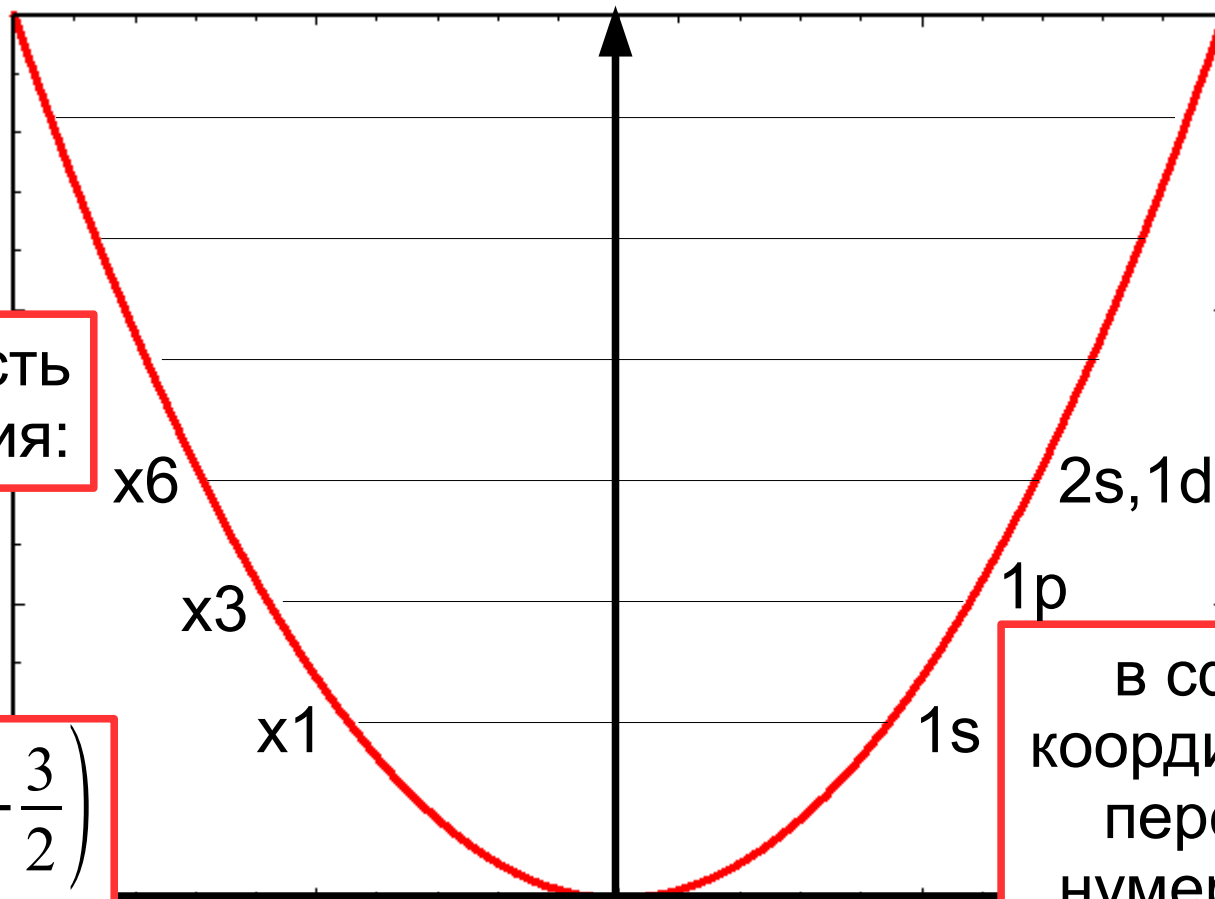
$$E_n = \hbar \omega \left(n + \frac{3}{2} \right)$$

$$n = n_x + n_y + n_z$$



Трёхмерный осциллятор $U=kr^2/2$

$$-\frac{\hbar^2}{2m} \Delta \Psi + \frac{kr^2}{2} \Psi = E \Psi$$

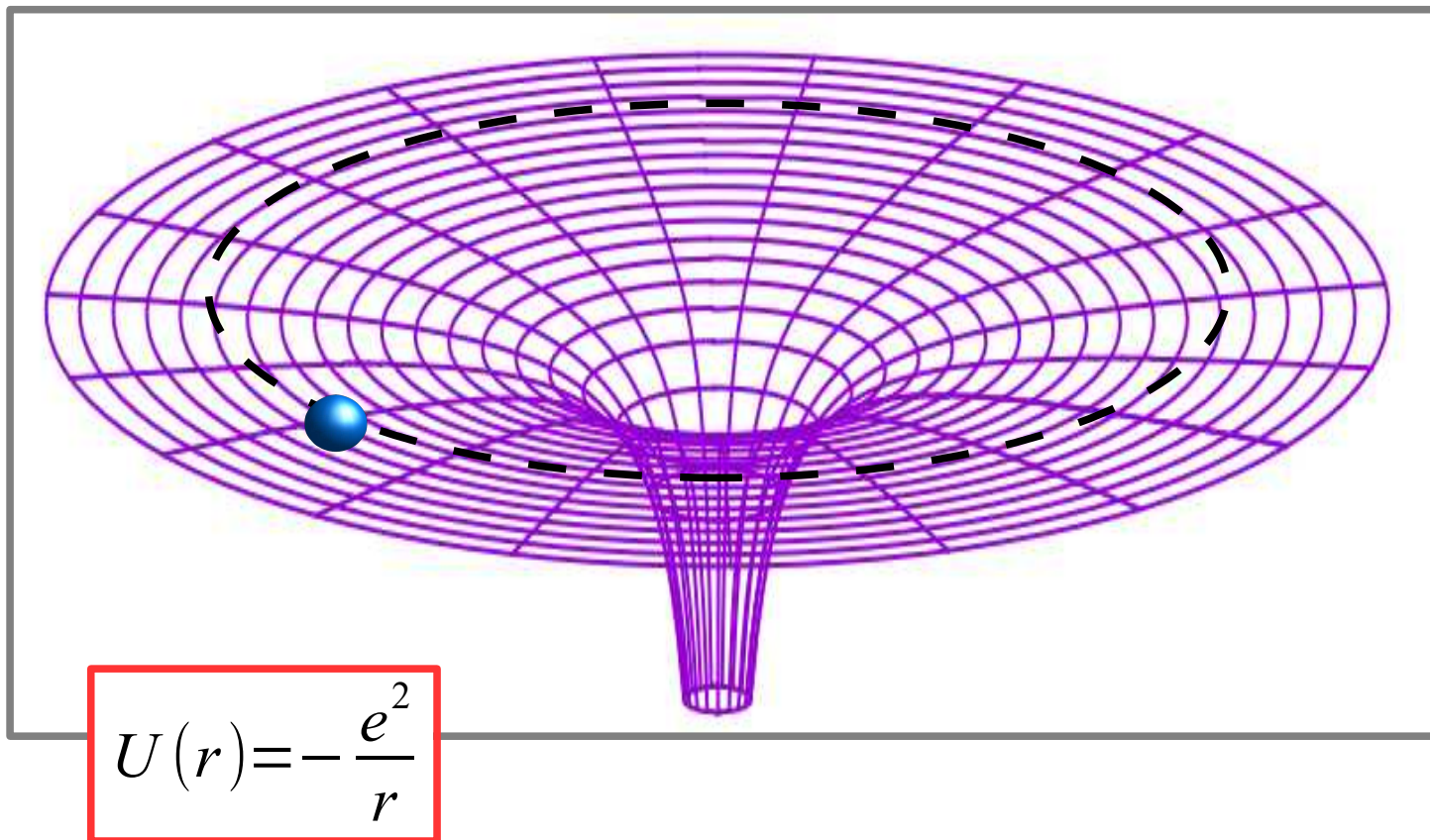


кратность
вырождения:

$$E_n = \hbar \omega \left(n + \frac{3}{2} \right)$$
$$n = n_x + n_y + n_z$$

в сферических
координатах (цифра
перед номером
нумерует уровни с
одинаковым l)

Кулоновский потенциал $U(r) = -e^2/r$.



Кулоновский потенциал $U(r)=-e^2/r$.

$$-\frac{\hbar^2}{2m} \Delta \Psi - \frac{e^2}{r} \Psi = E \Psi$$

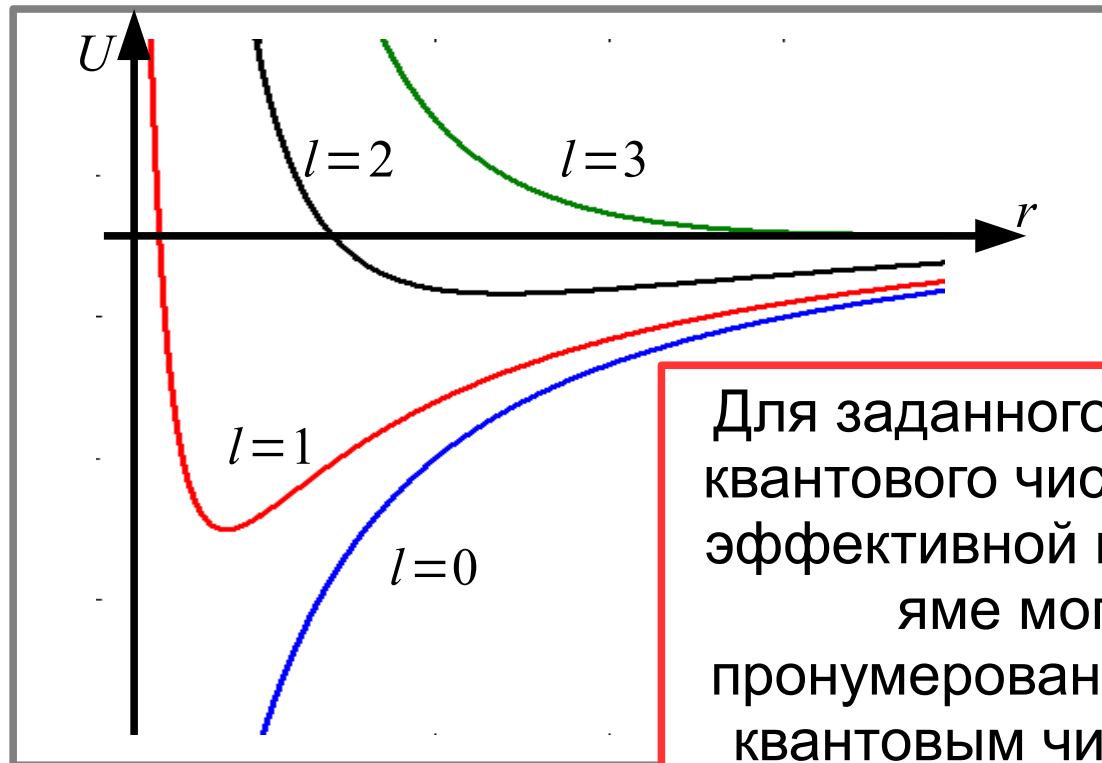
$$-\frac{\hbar^2}{2m} \xi'' + \left(-\frac{e^2}{r} + \frac{l(l+1)}{r^2} \right) \xi = E \xi$$

$$\Psi = \frac{\xi(r)}{r} \times Y_{lm}(\Theta, \phi)$$

Кулоновский потенциал $U(r) = -e^2/r$.

$$-\frac{\hbar^2}{2m} \Delta \Psi - \frac{e^2}{r} \Psi = E \Psi$$
$$-\frac{\hbar^2}{2m} \xi'' + \left(-\frac{e^2}{r} + \frac{l(l+1)}{r^2} \right) \xi = E \xi$$

$$\Psi = \frac{\xi(r)}{r} \times Y_{lm}(\Theta, \phi)$$



Для заданного орбитального квантового числа l решения в эффективной потенциальной яме могут быть пронумерованы радиальным квантовым числом $n_r = 0, 1 \dots$

Кулоновский потенциал $U(r)=-e^2/r$.

$$-\frac{\hbar^2}{2m} \Delta \Psi - \frac{e^2}{r} \Psi = E \Psi$$
$$-\frac{\hbar^2}{2m} \xi'' + \left(-\frac{e^2}{r} + \frac{l(l+1)}{r^2} \right) \xi = E \xi$$

$$\Psi = \frac{\xi(r)}{r} \times Y_{lm}(\Theta, \phi)$$

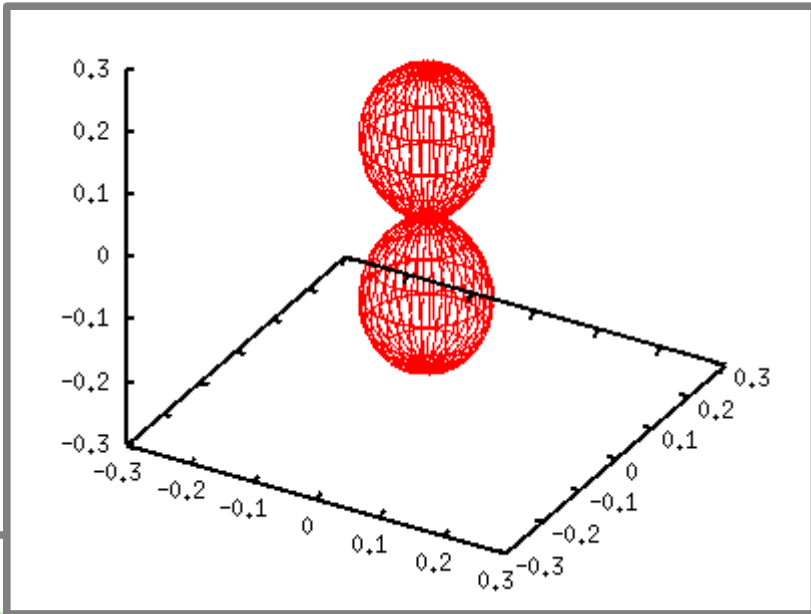
Только ответы:

- 1) случайное вырождение по орбитальному квантовому числу
- 2) энергию определяет главное квантовое число $n = n_r + l + 1$
- 3) возможные значения момента $l = 0, 1, \dots, (n-1)$

$$E_n = -\frac{m e^4}{2 \hbar^2} \frac{1}{n^2}$$

↑
13.6 эВ

Основное на лекции



$$\hat{l}^2 \rightarrow l(l+1)$$

$$\hat{l}_z \rightarrow m = -l \dots l$$

